

DAFTAR PUSTAKA

- Arribas, A., 1995. *Characteristics of High-Sulfidation Epithermal Deposits, and Their Relation to Magmatic Fluid*. Mineralogical Association of Canada 23, p.419-454.
- Bodnar, R.J., 1993. *Revised equation and table for determining the freezing point depression of H₂O-NaCl solutions*. Geochimica et Cosmochimica Acta, 57, 683-684.
- Buchanan, L.J., 1981. Precious Metals Deposits Associated with Volcanic Environments in the Southwest: in, Dickinson, W.R., and Payne, W.D., eds., Arizona Geological Society Digest , 14, 237-262.
- Corbett, G.J., Leach, T.M., 1997. *Southwest Pacific Rim Gold - Copper Systems: Structure, Alteration, and Mineralization*, Short Course Manual.
- Craig, J.R., and Vaughan, D.J., 1994. *Ore Microscopy and Ore Petrography*. Canada: John Wiley & Sons Inc, p.350.
- Carlile, J.C. and Mitchell, A.H.G, 1994. *Magmatic arcs and associated gold and copper mineralization in Indonesia*. Journal of Geochemical Exploration, 50, 91-142.
- Einaudi, M.T., Hedenquist, J.W. and Esra Inan, E., 2003. Sulfidation state of fluids in active and extinct hydrothermal systems: transitions from porphyry to epithermal environments. Society of Economic Geologists Special Publication, 10, 285-313.
- Gresens, R.L., 1967. *Composition-volume relationships of metasomatism*. Chemical Geology, vol. 2, p. 47-65.
- Hedenquists, J. W., Arribas A.R., and Gonzalez-Urien G., 2000, Exploration for epithermal gold deposits, in SEG Reviews in Economic Geology, Vol.13, p.245-277.
- Hedenquist, J.W., Izawa, E., Arribas, A., and White, N.C., 1996. *Epithermal Gold Deposits: Styles, Characteristics and Exploration*. Tokyo: The Society of Resource Geology.



L., 1971. The effect of salinity on the maximum thermal gradient of a hydrothermal system at hydrostatic pressure. Economic Geology, 66, 40-946.

Hastie, A.R., Kerr, A.C., Pearce, J.A., Mitchell, S.F., 2007. *Classification of Altered Volcanic Island Arc Rocks using Immobile Trace Elements*.

Jaya, A., Nishikawa, O., Hayasaka, Y., 2017. *LA-ICP-MS zircon U-Pb and muscovite K-Ar ages of basement rocks from the south arm of Sulawesi, Indonesia*. Elsevier, 96-110.

Komov, I.L., Lukashev, A.N., and Koplus, A.V., 1994. *Geochemical Methods of Prospecting for Non-Metallic Minerals (New and Expanded Edition)*. Utrecht: VSP, p.405.

Le Bas, M.J., Le Maitre, R.W., Streckeisen, A. and Zanettin, B., 1986. A chemical classification of volcanic rocks based on the total alkali-silica diagram. *Journal of Petrology*, 27, 745-750.

Leterrier, J., Yuwono, Y.S., Soeria-Atmadja, R. and Maury, R.C., 1990. *Potassvolcanism in Central Java and South Sulawesi, Indonesia*. Journal Southeast Asian Earth Sciences, 4, 171-187.

Meschede, M., 1986. A method of discriminating between different types of mid-ocean ridge basalts and continental tholeiites with the Nb-Zr-Y diagram. *Chem. Geol.*, 56, 207-218.

Morrison, G.W., Dong, G. and Jaireth, S., 1990. *Textural zoning in epithermal quartz veins*. Klondike Exploration Services, Townsville, Australia, p.10.

Marshall, D., Anglin, C.D., and Mumin, H., 2004. *Ore Mineral Atlas*. Newfoundland: Geological Association of Canada, Mineral Deposits Division, p.112.

Nur I., 2012. *Geology, Geochemistry And Fluid Inclusion Study Pf The Baturappe Epithermal Silver-Base Metal Prospect, South Sulawesi, Indonesia*.

Nur I, Idrus A, Pramumijoyo S, Harijoko A and Imai A 2011 *Mineral Paragenesis and Fluid Inclusions of the Bincanai Epithermal Silver-Base Metal Vein at Baturappe area, South Sulawesi, Indonesia*. *J. SE Asian Appl. Geol.*, Jan-Jun 2011. 3 (1) 34–44

Nur I, Idrus A, Pramumijoyo S, Harijoko A, Juyanagi Y and Imai A 2009 *Characteristics of epithermal quartz veins at Baturappe area, Gowa, South Sulawesi: an implication to base metal exploration* vol 7 (Yogyakarta, Indonesia: Proceedings of the International Conference on Earth Science and Technology) chapter 2 p 77–85



F., 2009. *Hydrothermal proses and Mineral System*. Springer, p.90-04.

F., 1992. *Hydrothermal Minerals Deposits*. Springer, p.30.

- Peccerillo, A. Taylor, S. R. 1976. *Geochemistry of Eocene calc-alkaline volcanic rocks from the Kastamonu area, northern Turkey*. Contrib. Mineral Petrol, vol. 58, p. 63-81.
- Peccerillo, A., 1984. *Evidence for subduction-related magma genesis (Roman comagmatic province, Italy*, 103-106 p.
- Rollinson, H., 1993. *Using geochemical data: evaluation, presentation, interpretation*. Longman Group, UK, 374 p.
- Roedder, E., 1984. Fluid inclusions . Mineralogical Society of America. Reviews in Mineralogy, 12, 644 p.
- Sillitoe, R.H. and Hedenquist, J.W., 2003. Linkages between volcanotectonic settings, ore-fluid compositions, and epithermal precious metal deposits. Society of Economic Geologists Special Publication, 10, 315-343
- Shepherd, T.J., Rankin, A.H., 1985. *A Practical Guide to Fluid Inclusion Studies* . Blakie Glasgow. London, Britain
- Sukamto, R. dan Supriatna., 1982. Peta geologi lembar Pangkajene dan Watampone bagian barat, Sulawesi. Pusat Penelitian dan Pengembangan Geologi, Bandung.
- Sun, S.S. and McDonough, W.F., 1989. *Chemical and isotopic systematics of oceanic basalts; implications for mantle composition and processes*. In Saunders, A. D. and Norry, M. J. (eds.), *Magmatism in the ocean basins*. Geological Society Special Publications, 42, 313–345.
- Soeria-Atmadja, R., Suparka, S., Abdullah, C., Noeradi, D. and Sutanto, 1998. *Magmatism in western Indonesia, the trapping of the Sumba Block and the gateways to the east of Sundaland*. Journal of Asian Earth Sciences, 16, 1-12.
- Thompson, A.J.B. and Thompson, J.F.H., 1996. *Atlas of alteration, a field and petrographic guide to hydrothermal alteration minerals*. Geological Association of Canada, Mineral Deposits Division, 118 p.
- Van Leeuwen, T. M. 1981 *The geology of southwest Sulawesi with special reference to the Biru area*. The Geology and Tectonics of Eastern Indonesia. Geological Research and Development Centre Special Publication, vol. 2, p. 277-304.



n, J.J., 2001. Fluid Inclusions in Hydrothermal Ore Deposits . London, K, Lithos, 55, 229-272

I.C. and Hedenquist, J.W., 1995. *Epithermal Gold Deposits: Styles, characteristics and Exploration*. Society Economic Geologist newsletter 23, p.1, and 9-13.

Winchester, J.A. and Floyd, P.A., 1977. Geochemical discrimination of different magma series and their differentiation products using immobile elements. *Chemical Geology*, 20, 325-343.

Yuwono, Y. S. 1987. *Contribution a L'étude Du Volcanisme Potassique De L'Indonesie*. L'Universite De Bretagne occidentale, Tome I, p. 63.

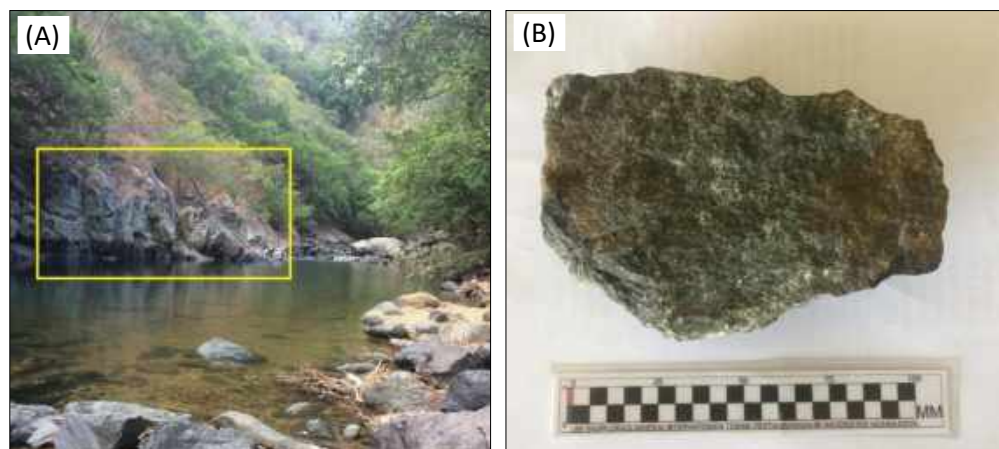


Optimization Software:
www.balesio.com

LAMPIRAN A

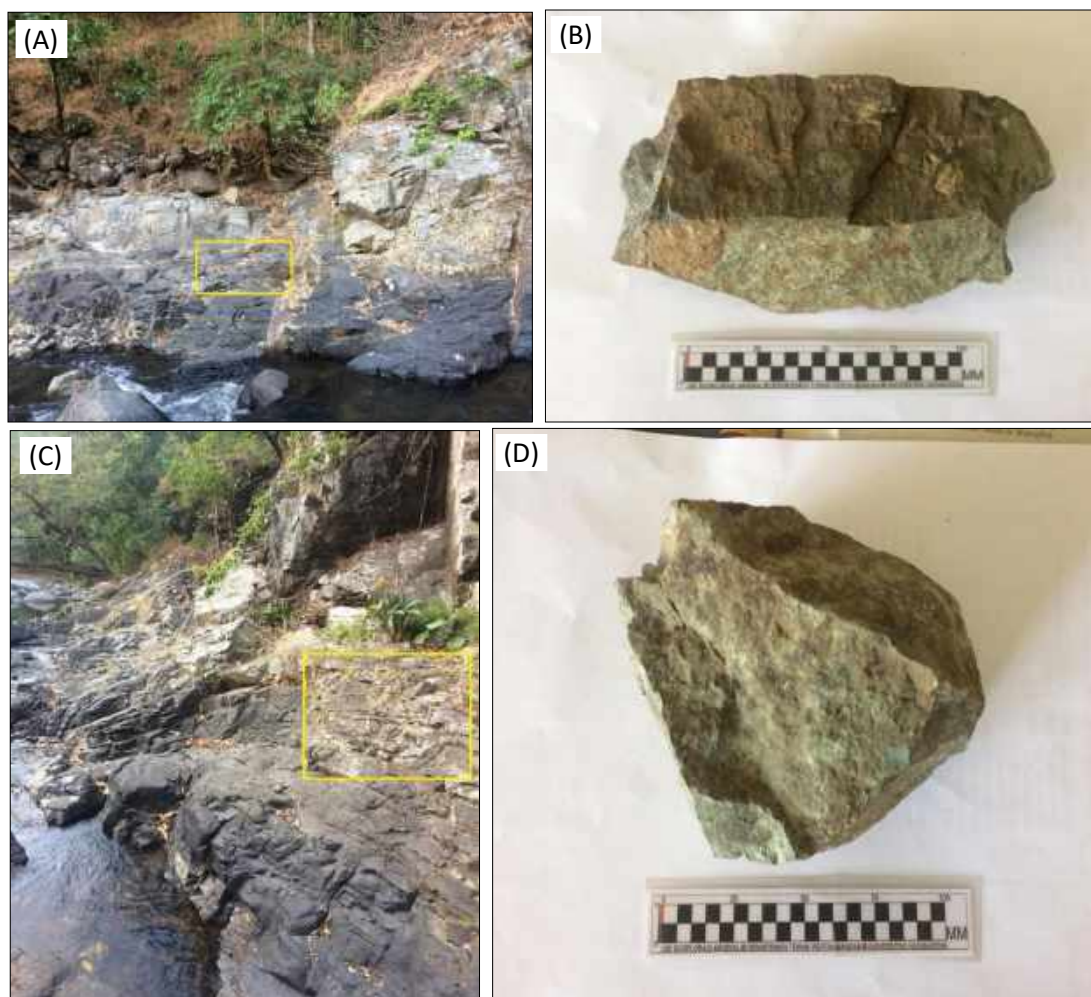
DESKRIPSI LAPANGAN

Stasiun : 01
No. Sampel : ST.01
Koordinat :
Deskripsi : Basal teralterasi lemah, warna lapuk cokelat kemerahan, warna segar hitam kehijauan, hipokristalin, faneritik. komposisi mineral, plagioklas, kuarsa, piroksin dan epidot.
Keterangan : Sampel diambil di sungai Ballasa'.



Gambar.1. Singkapan basal teralterasi lemah (garis kuning) pada stasiun 1 (A) dan sampel *hand specimen* (B) yang diambil dari singkapan Stasiun 1.

Stasiun : 02
 No. Sampel : ST.02 A
 Koordinat :
 Deskripsi : **ST-2A:** Basal teralterasi, warna lapuk coklat kemerahan sampai hitam, warna segar hijau, hipokristalin, faneritik, komposisi mineral plagioklas, piroksen, kuarsa, dan epidot.
ST-2B: Basal teralterasi kuat, warna lapuk coklat kemerahan, warna segar hitam kehijauan, hipokristalin, faneritik. Komposisi mineral berupa klorit, kuarsa serta terdapat mineral sulfida berupa pirit (*disseminated*)
 Keterangan : Sampel diambil di pinggiran sungai Muntia.



2. Singkapan basal teralterasi sebagian (garis kuning) di stasiun 2A **(A)** dan sampel *hand specimen* basal **(B)** yang diambil dari singkapan di Stasiun 02A, singkapan (garis kuning) basal teralterasi kuat di stasiun 2B **(C)** dan sampel *hand specimen* basal teralterasi kuat terdapat mineral sulfida berupa pirit (*disseminated*) di stasiun 2B **(D)**



Stasiun : 03
No. Sampel : ST-03
Koordinat :
Deskripsi : Diorit. Warna lapuk cokelat, warna segar hijau, hipokristalin, faneritik, komposisi mineral plagioklas, kuarsa, klorit, Biotit serta terdapat mineral sulfida berupa mineral pirit (*disseminated*).
Keterangan : Sampel diambil di antara sungai Ballasa' dan Muntia.



Gambar.3 Sampel *hand specimen* Diorit, terdapat mineral sulfida berupa pirit (*disseminated*) yang diambil dari Singkapan di Stasiun 3.

| | | |
|------------|---|---|
| Stasiun | : | 04 |
| No. Sampel | : | ST.04 |
| Koordinat | : | |
| Deskripsi | : | Diorit, warna lapuk cokelat kemerahan, warna segar hijau gelap, hipokristalin, faneritik, komposisi mineral plagioklas, klorit, kuarsa, Biotit. |
| Keterangan | : | Sampel diambil di antara sungai Ballasa' dan Muntia. |



Gambar 4. Singkapan Diorit pada stasiun 4 (A) dan sampel *hand specimen* diorit yang diambil di stasiun 04 (B).



Stasiun : 05
No. Sampel : ST.05
Koordinat :
Deskripsi : Basal, warna lapuk coklat, warna segar hijau kehitaman. Hipokristalin, faneritik Komposisi mineral : Kuarsa, Klorit serta terdapat mineral sulfida berupa pirit.
Keterangan : Sampel diambil diantara sungai Ballasa' dan sungai Muntia.



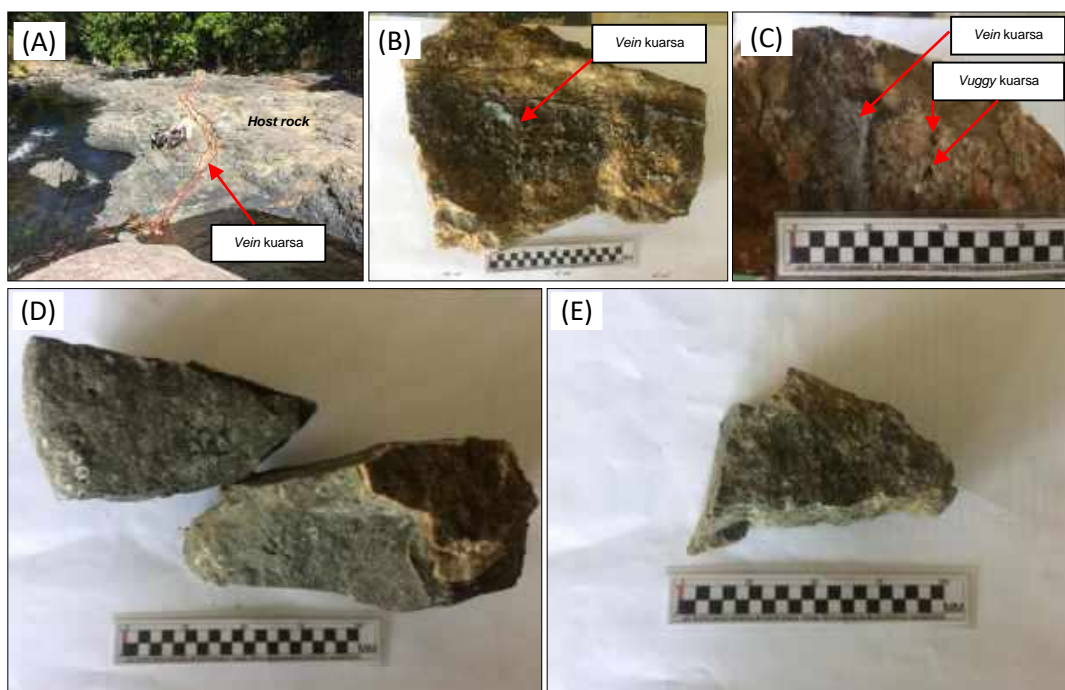
Gambar 5. Singkapan basal teralterasi sebagian pada stasiun 5 (A) dan sampel *hand specimen* basal yang diambil dari singkapan stasiun 5 (B).

Stasiun : 06
 No. Sampel : ST.06
 Koordinat :
 Deskripsi : **ST-06A (Vein)**, urat kuarsa (ketebalan 30 cm, N 65° E 75°) dengan komposisi miniral epidot dan mineral sulfida berupa pirit. Tekstur urat berupa *vuggy* kuarsa.

ST-06B Basal teralterasi, warna lapuk abu-abu sampai coklat, hipokristalin, faneritik. Komposisi mineral terdiri dari Kuarsa, klorit, serta pirit (*disseminated*).

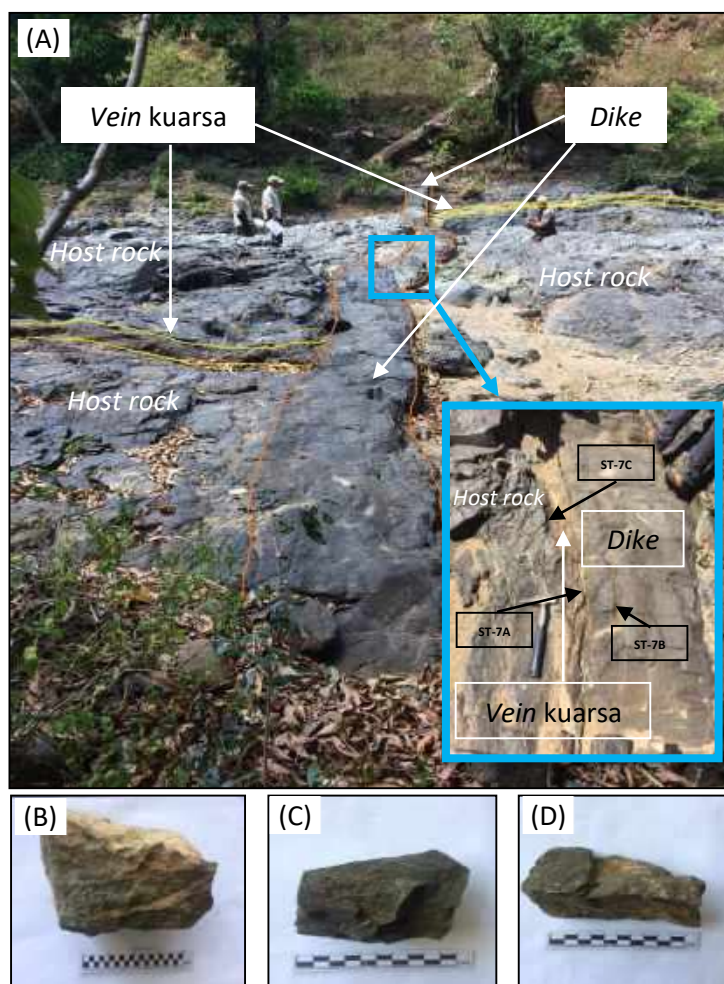
ST-06 C Basal teralterasi, warna lapuk coklat, warna segar hijau. Hipokristalin, faneritik. komposisi mineral kuarsa dan klorit serta pirit (*disseminated*).

Keterangan : Sampel diambil di sungai Ballasa'.



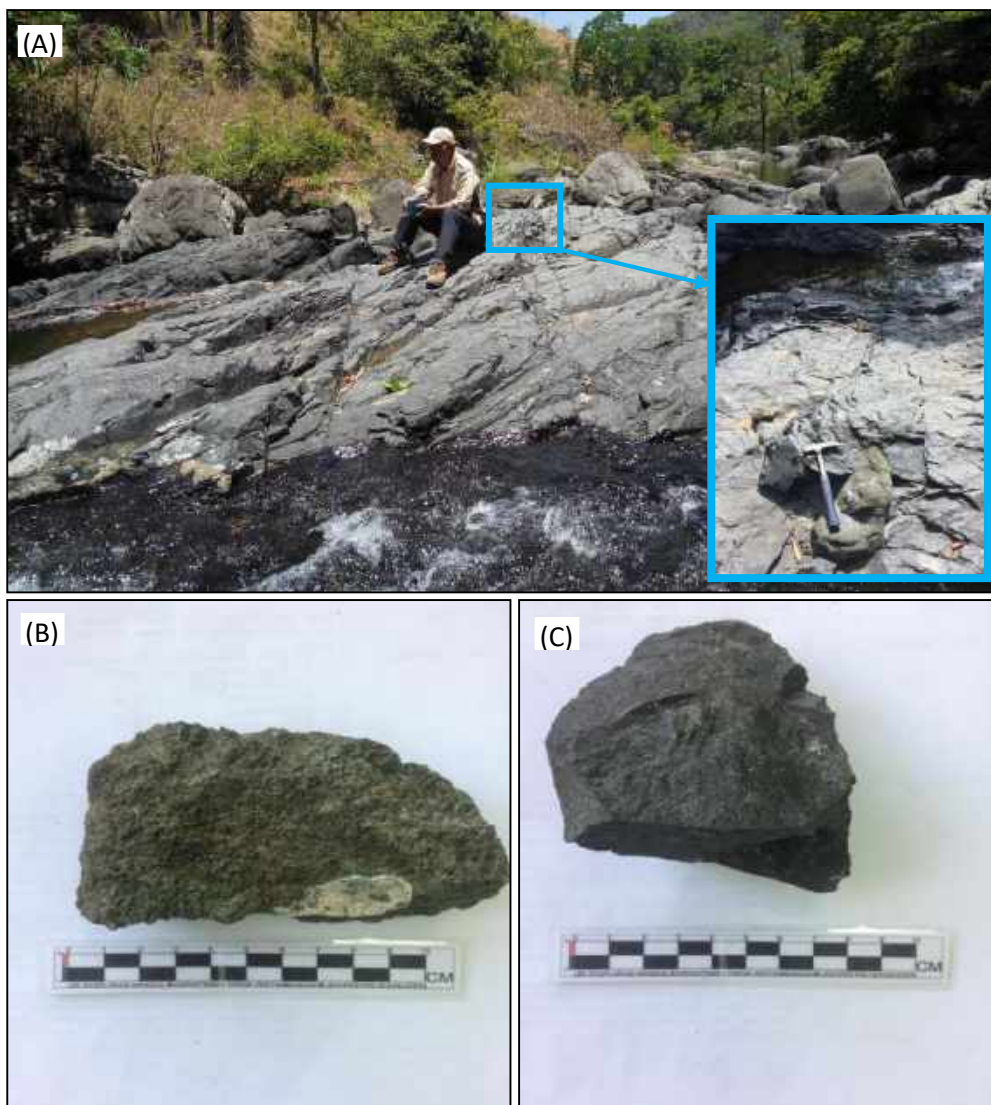
Gambar 6. Singkapan urat kuarsa (A); sampel urat kuarsa yang memperlihatkan urat kuarsa (ST-6A) (B); sampel urat kuarsa yang memperlihatkan tektur *vuggy* kuarsa (ST-6A) (C); sampel *hand specimen host rock* basal teralterasi (ST-6B) (D) dan sampel *hand specimen host rocks* basal teralterasi (ST-6C) (E) yang keseluruhan sampel tersebut diambil pada singkapan stasiun 6.

| | |
|------------|--|
| Stasiun | : 07 |
| No. Sampel | : ST.07A (Vein), ST.07B (<i>host rock</i>), ST.07C (<i>host rock</i>). |
| Koordinat | : |
| Deskripsi | <ul style="list-style-type: none"> • ST.07A (vein): Urut kuarsa (ketebalan 10 cm, N 150° E 76°) dengan komposisi miniral sulfida berupa pirit, memiliki tekstur urat berupa vuggy kuarsa. • ST.07B: Basal scoria (dike), warna lapuk jingga sampai hitam, warna segar hijau, hipokristalin, struktur scoria, komposisi mineral plagioklas dan kuarsa. • ST.07C: Basal teralterasi. Warna lapuk coklat kehitaman, warna segar hijau kehitaman. Hipokristalin, faneritik. Komposisi mineral plagioklas dan kuarsa. |
| Keterangan | : Sampel diambil di sungai Ballasa'. |



Gambar 7. Singkapan basal yang terintrusi oleh basal scoria dan urat kursa di Stasiun 7 (A); sampel *hand specimen* urat kursa yang memperlihatkan *veinlet* serta layer sulfida (ST-7A) (B); Sampel *hand specimen* *host rock* basal scoria (*dike*) (ST-7B) (C) dan sampel *hand specimen* berupa basal teralterasi lemah (ST-7C) (D) yang keseluruhan sampel tersebut diambil dari singkapan pada stasiun 7.

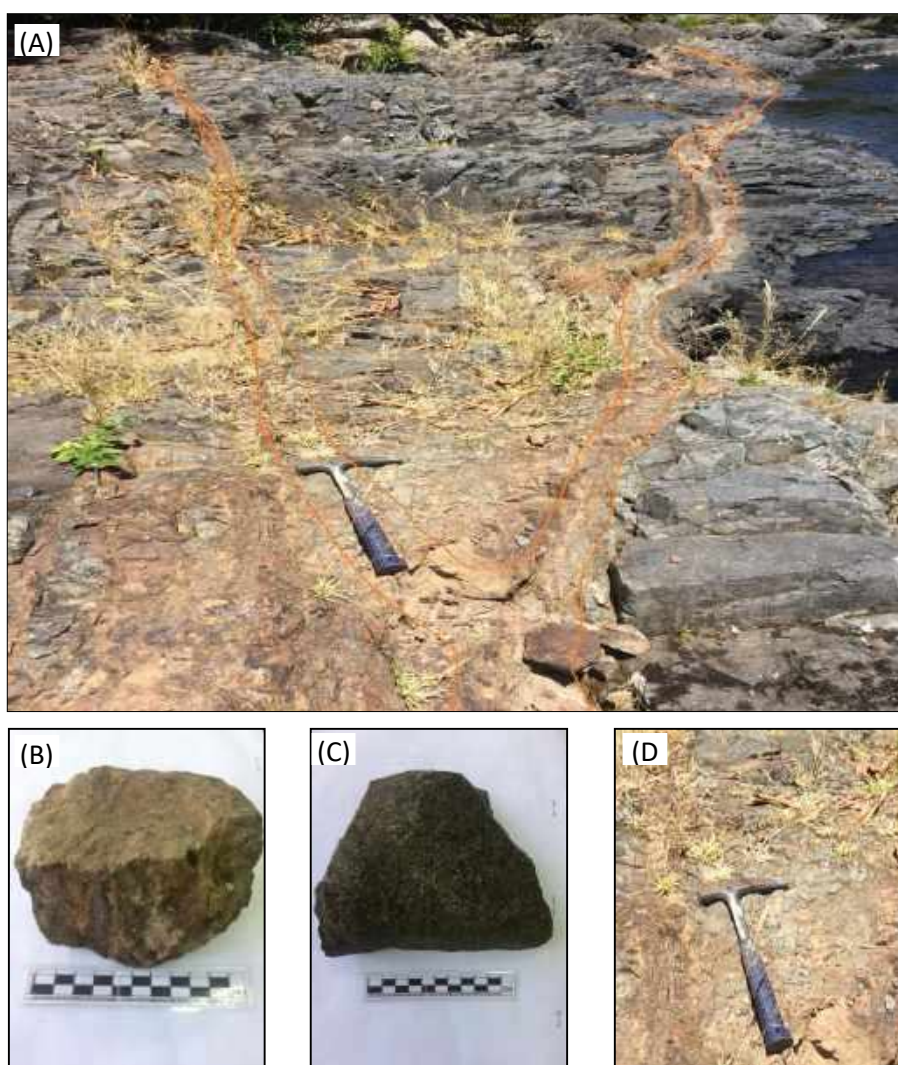
Stasiun : 08
 No. Sampel : ST.08 (gabro), ST.08B basal (*wall rock*)
 Koordinat :
 Deskripsi : • **ST.08A:** Gabro, warna hitam kehijauan, holokristalin, faneritik. Komposisi mineral berupa pirosen, plagioklas dan kuarsa.
 • **ST.08B:** Basal, warna lapuk coklat, warna segar hitam kehijauan, hipokristalin, tekstur faneritik, komposisi mineral kuarsa, piroksen dan plagioklas.
 Keterangan : Sampel diambil di sungai Ballasa'.



Catatan 8. Singkapan basal dan gabro (A); Sampel *hand specimen* gabro (ST-8A) (B); sampel *hand specimen* *wall rock* basal (ST-8B) (C) yang keseluruhan sampel tersebut diambil dari singkapan pada stasiun 8.



| | | |
|------------|---|---|
| Stasiun | : | 9 |
| No. Sampel | : | ST.9A (<i>vein</i>), ST.9B (Gabro). ST.9C (Lempung) |
| Koordinat | : | |
| Deskripsi | : | <ul style="list-style-type: none"> • ST.9A: Urut kuarsa (ketebalan 26 cm, N 268° E 82°) dengan komposisi miniral sulfida berupa pirit, memiliki tekstur urat berupa <i>vuggy</i> kuarsa. • ST.9B: Gabro, warna hitam kehijauan, holokristalin, faneritik. Komposisi mineral plagioklas dan biotit. • ST.9C: Lempung yang teralterasi (indikasi alterasi argilik), berasosiasi dengan urat kuarsa (ST-9A). |
| Keterangan | : | Sampel diambil di sungai Ballasa'. |



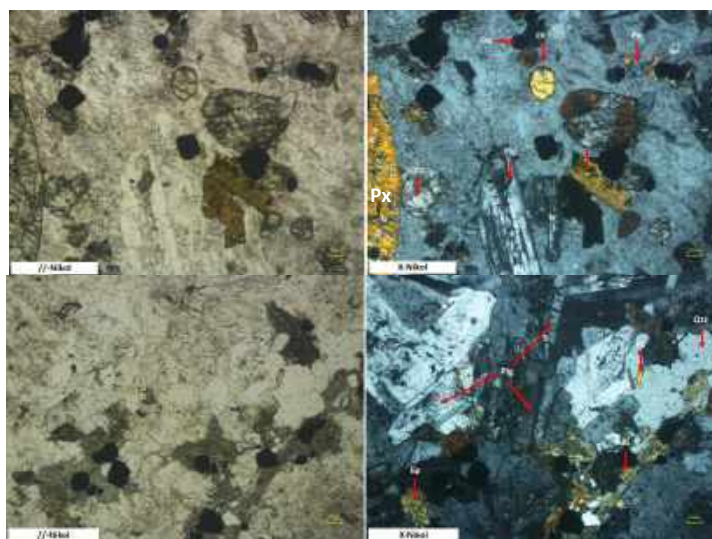
Ambar 9. Singkapan urat kursa (A); Sampel *hand specimen* urat kursa (ST-9A) (B); sampel *hand specimen wall rock* gabro (ST-9B) (C); Lempung (ST-9C) (D) yang keseluruhan sampel tersebut diambil dari singkapan pada stasiun 9.



LAMPIRAN B
DESKRIPSI PETROGRAFI

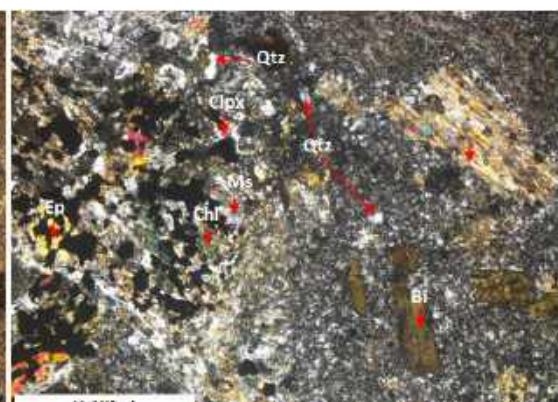
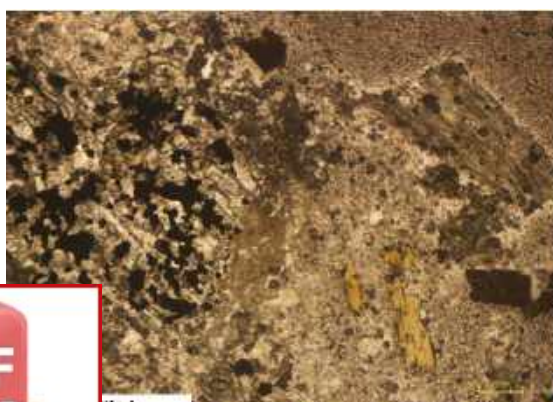
| No Stasiun : ST-1 | | |
|---|--------------------------|--|
| Lokasi : Sungai Ballasa' | | |
| Kode Sampel (<i>Sample ID</i>) : ST-1 | | |
| Jenis Sampel (<i>Sample type</i>) : Basal (teralterasi lemah) | | |
| Tipe Alterasi (<i>Alteration type</i>) : kursa-biotit-epidot | | |
| Mikroskopis (Microscopic) : Kenampakan mikroskopis batuan ini berwarna abu-abu kecoklatan pada nikol sejajar, dan berwarna abu-abu kehitaman pada nikol silang. Batuan ini teralterasi lemah dengan ukuran mineral $\leq 0,025 - 0,4$ mm, tersusun atas mineral seperti kuarsa, biotit, epidot, piroksin, plagioglas, olivin dan opak bentuk euhedra-subhedral. | | |
| Deskripsi Mineralogi (Mineralogy Of Description) | | |
| Komposisi Mineral <i>Compotion of Mineral</i> | Jumlah Amount (%) | Keterangan optik mineral <i>Description of Optical Mineralogy</i> |
| Plagioklas (Plg) | 15 | Warna absorpsi abu-abu, warna interferensi hitam, pecahan tidak ada, belahan 1 arah, sudut gelapan 35° , intensitas sedang, relief sedang, pleokroisme monokroik, ukuran mineral $0,3 - 0,6$ mm |
| Kuarsa (Qtz) | 40 | Warna absorpsi putih, warna interferensi putih abu-abu, pecahan tidak ada, belahan tidak ada, pleokroisme monokroik, intensitas sedang-kuat, relief sedang-tinggi, sudut gelapan 43° , ukuran mineral $0,1-1$ mm |
| Olivin (Ol) | 10 | Warna absorpsi coklat, warna interferensi kuning, pecahan tidak ada, belahan dua arah, relief rendah sudut gelapan 18° , ukuran mineral $0,2-0,3$ mm. |
| Piroksin (Px) | 10 | Warna absorpsi abu-abu kecoklatan, warna interferensi cokelat kemerahan, pecahan tidak rata, belahan tidak jelas, sudut gelapan 44° , pleokroisme monokroik, ukuran $0,1$ mm. |
| Biotit (Bi) | 15 | Warna absorpsi abu-abu coklat, warna interferensi kuning kecoklatan, pecahan tidak ada, belahan 1 arah, sudut gelapan 24° , ukuran mineral $0,2-0,4$ mm. |
| Epidot (Ep) | 10 | Warna absorpsi abu-abu kecoklatan, warna interferensi hijau kekuningan, pecahan tidak rata, belahan tidak jelas, sudut gelapan $17,5^\circ$, intensitas sedang, relief sedang, pleokroisme dwikroik, ukuran $0,3 - 0,4$ mm. |

Foto :



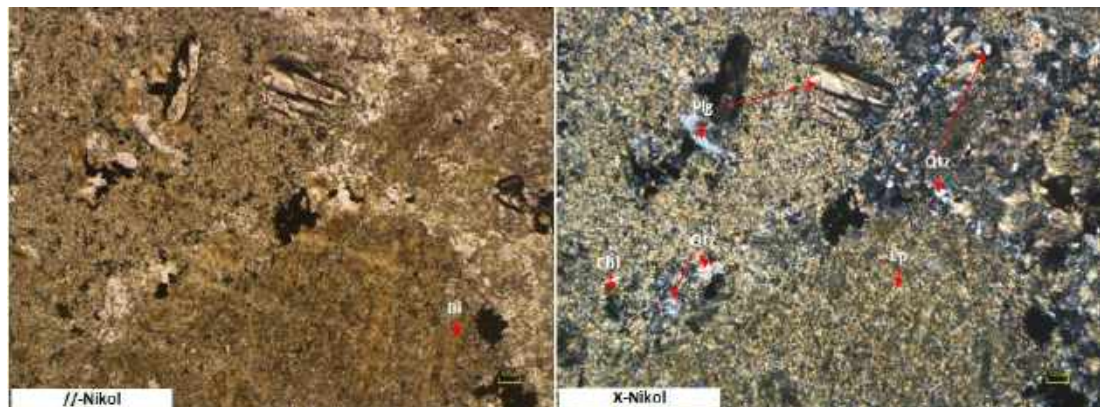
| No Stasiun : ST-2 | Lokasi : Sungai Muntia | |
|---|------------------------|---|
| Kode Sampel (<i>Sample ID</i>) : ST-2A | | |
| Jenis Sampel (<i>Sample type</i>) : Basal (teralterasi lemah) | | |
| Tipe Alterasi (<i>Alteration type</i>) : kuarsa, klorit, epidot dan biotit | | |
| Mikroskopis (Microscopic) : | | |
| Kenampakan mikroskopis batuan ini berwarna abu-abu sampai kuning kecoklatan pada nikol sejajar, dan berwarna abu-abu kehitaman pada nikol silang. Batuan ini telah teralterasi lemah dengan ukuran mineral 0,05 – 0,3 mm, terdiri atas mineral kuarsa, epidot, klorit, biotit, muskovit, klinopiroksin dan opak, bentuk subhedral-anhedral. | | |
| Deskripsi Mineralogi (Mineralogy Of Description) | | |
| Komposisi Mineral <i>Compostion of Mineral</i> | Jumlah Amount (%) | Keterangan optik mineral <i>Description of Optical Mineralogy</i> |
| Kuarsa (Qtz) | 40 | Warna absorpsi putih, warna interferensi putih abu-abu, pecahan tidak ada, belahan tidak ada, pleokroisme monokroik, intensitas sedang-kuat, relief sedang-tinggi, sudut gelapan 43° , ukuran mineral 0,05-0,1 mm |
| Biotit (Bi) | 10 | Warna absorpsi abu-abu coklat, warna interferensi kuning kecoklatan, pecahan tidak ada, belahan 1 arah, sudut gelapan 24° , ukuran mineral 0,1-0,3 mm. |
| Muskovit (Ms) | 5 | Warna absorpsi coklat kemerah, warna interferensi kuning hijau keunguan, pecahan tidak rata, belahan tidak jelas, sudut gelapan 27° , intensitas lemah, relief rendah, pleokroisme monokroik, ukuran mineral 0,05 mm. |
| Klonopiroksin (Clpx) | 5 | Warna absorpsi abu-abu kecoklatan, warna interferensi ungu, pecahan tidak ada, belahan 1 arah, intensitas sedang, relief rendah, pleokroisme monokroik, sudut gelapan 44° , ukuran mineral 0,05 mm. |
| Epidot (Ep) | 20 | Warna absorpsi abu-abu kecokelatan, warna interferensi kuningan kecoklatan, pecahan tidak rata, belahan tidak jelas, sudut gelapan $17,5^\circ$, intensitas sedang, relief sedang, pleokroisme dwikroik, ukuran 0,05 mm. |
| Klorit (Chl) | 20 | Warna absorpsi hijau kecoklatan, warna interferensi hijau kekuningan, pecahan tidak rata, belahan tidak jelas, pleokroisme monokroik, intensitas rendah, relief lemah, sudut gelapan 19° , ukuran mineral 0,05 - 0,1 mm. |

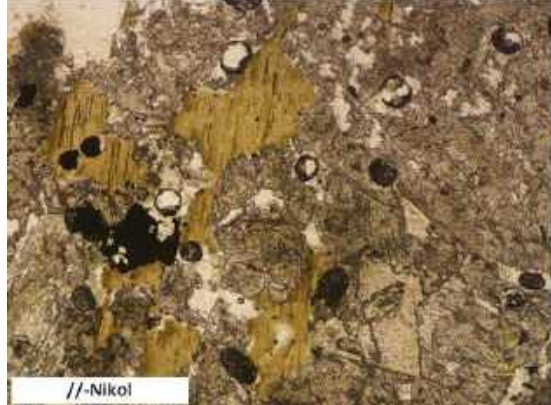
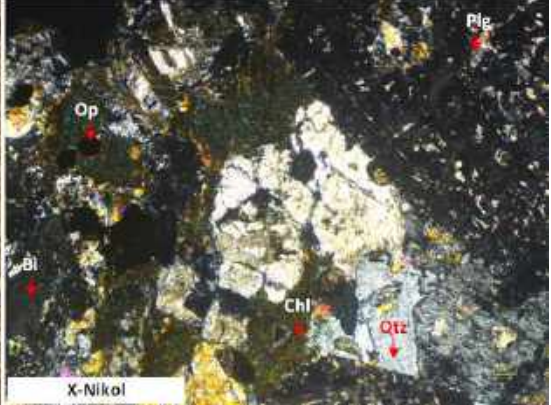
Foto :



| No Stasiun | : ST-2 | |
|--|---|---|
| Lokasi | : Sungai Muntia | |
| Kode Sampel (<i>Sample ID</i>) | : ST-2B | |
| Jenis Sampel (<i>Sample type</i>) | : Basal (teralterasi kuat) | |
| Tipe Alterasi (<i>Alteration type</i>) | : Kuarsa, epidot, klorit dan biotit | |
| Mikroskopis (<i>Microscopic</i>) : | <p>Kenampakan mikroskopis batuan ini berwarna abu-abu kecoklatan pada nikol sejajar, dan berwarna abu-abu kekuningan pada nikol silang. Batuan ini teralterasi kuat dengan ukuran mineral $\leq 0,025 - 0,4$ mm, tersusun atas mineral seperti kuarsa, biotit, epidot, klorit, plagioklas, dan opak bentuk subhedral-anhedral.</p> | |
| Deskripsi Mineralogi (<i>Mineralogy Of Description</i>) | | |
| Komposisi Mineral <i>Compostion of Mineral</i> | Jumlah Amount (%) | Keterangan optik mineral <i>Description of Optical Mineralogy</i> |
| Kuarsa (Qtz) | 25 | Warna absorpsi putih, warna interferensi putih abu-abu, pecahan tidak ada, belahan tidak ada, pleokrisme monokroik, intensitas sedang-kuat, relief sedang-tinggi, sudut gelapan 43° , ukuran mineral $0,05-0,1$ mm |
| Plagioklas (Plg) | 15 | Warna absorpsi abu-abu, warna interferensi hitam, pecahan tidak ada, belahan 1 arah, sudut gelapan 35° , intensitas sedang, relief sedang, pleokroisme monokroik, ukuran mineral $0,1 - 0,5$ mm |
| Biotit (Bi) | 10 | Warna absorpsi abu-abu coklat, warna interferensi kuning kecoklatan, pecahan tidak ada, belahan 1 arah, sudut gelapan 24° , ukuran mineral $0,2-0,4$ mm. |
| Epidot (Ep) | 40 | Warna absorpsi abu-abu kecoklatan, warna interferensi kuning kekuningan kecoklatan, pecahan tidak rata, belahan tidak jelas, sudut gelapan $17,5^\circ$, intensitas sedang, relief sedang, pleokroisme dwikroik, ukuran $<0,1$ mm. |
| Klorit (Chl) | 10 | Warna absorpsi hijau kecoklatan, warna interferensi hijau kekuningan, pecahan tidak rata, belahan tidak jelas, pleokrisme monokroik, intensitas rendah, relief lemah, sudut gelapan 19° , ukuran mineral $0,1$ mm. |

Foto :

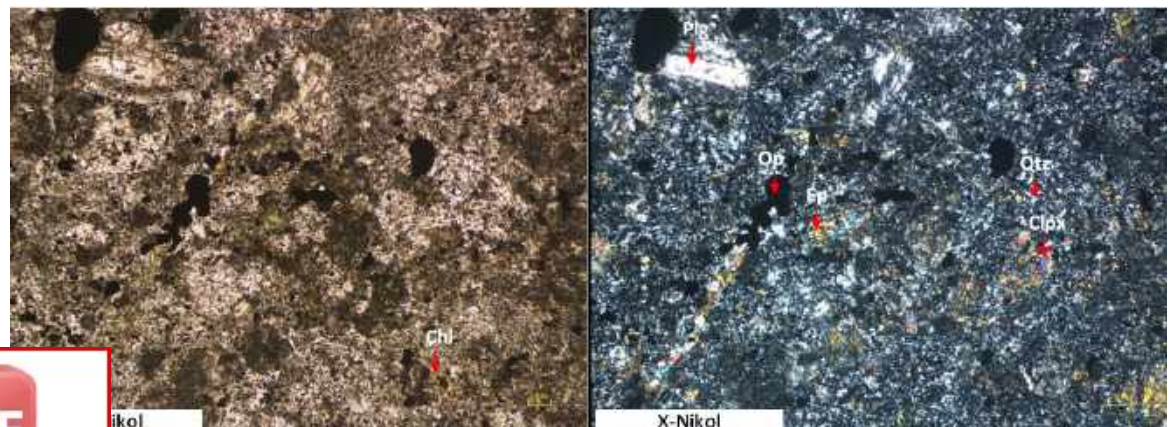


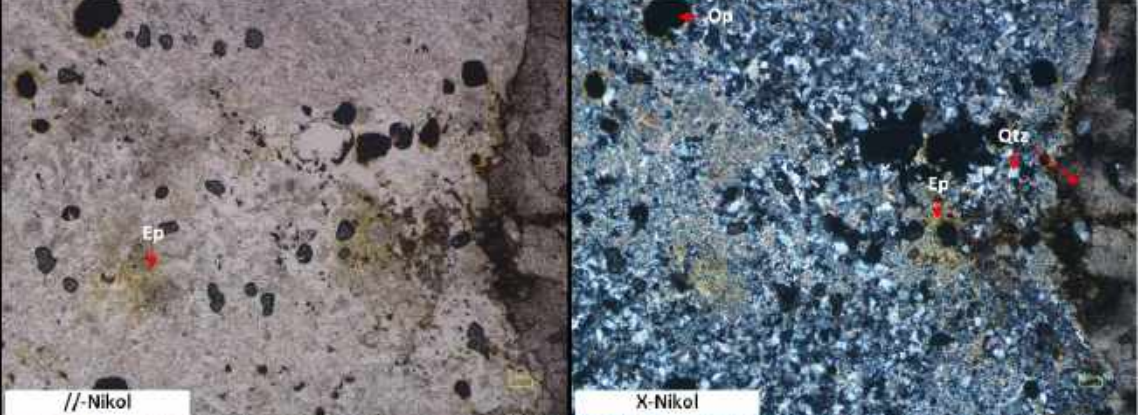
| No Stasiun : ST-3 | | |
|--|--------------------------|---|
| Lokasi : | | |
| Kode Sampel (<i>Sample ID</i>) : ST-3 | | |
| Jenis Sampel (<i>Sample type</i>) : Diorit (teralterasi sedang) | | |
| Tipe Alterasi (<i>Alteration type</i>) : Kuarsa dan klorit | | |
| Mikroskopis (<i>Microscopic</i>) : | | |
| Kenampakan mikroskopis batuan ini berwarna abu-abu coklat pada nikol sejajar, dan berwarna abu-abu kehitaman pada nikol silang. Batuan ini telah teralterasi lemah dengan ukuran mineral 0,05 – 0,5 mm, terdiri atas mineral kuarsa, klorit, biotit, plagioklas dan opak, bentuk subhedral-anhedral. | | |
| Deskripsi Mineralogi (<i>Mineralogy Of Description</i>) | | |
| Komposisi Mineral <i>Compostion of Mineral</i> | Jumlah Amount (%) | Keterangan optik mineral <i>Description of Optical Mineralogy</i> |
| Kuarsa (Qtz) | 35 | Warna absorpsi abu-abu, warna interferensi putih abu-abu, pecahan tidak ada, belahan tidak ada, pleokrisme monokroik, intensitas sedang-kuat, relief sedang-tinggi, sudut gelapan 29°, ukuran mineral 0,05-0,4 mm |
| Plagioklas (Plg) | 15 | Warna absorpsi abu-abu, warna interferensi hitam, pecahan tidak ada, belahan 1 arah, sudut gelapan 37°, intensitas sedang, relief sedang, pleokroisme monokroik, ukuran mineral 0,05 – 0,1 mm |
| Biotit (Bi) | 20 | Warna absorpsi abu-abu coklat, warna interferensi kuning kecoklatan, pecahan tidak ada, belahan 1 arah, sudut gelapan 31°, ukuran mineral 0,2-0,3 mm. |
| Klorit (Chl) | 20 | Warna absorpsi coklat kehijauan, warna interferensi hijau kehitaman, pecahan tidak rata, belahan tidak rata, sudut gelapan 19°, ukuran mineral |
| Mineral Opak (Op) | 10 | Warna absorpsi dan warna interferensi hitam, ukuran 0,1 – 0,5 mm |
| Foto : | | |
|   | | |



| No Stasiun : ST-5 | | |
|---|-------------------|--|
| Lokasi : | | |
| Kode Sampel (<i>Sample ID</i>) : ST-5 | | |
| Jenis Sampel (<i>Sample type</i>) : Basal (teralterasi sedang) | | |
| eTipe Alterasi (<i>Alteration type</i>) : Kuarsa, epidot dan klorit | | |
| Mikroskopis (<i>Microscopic</i>) : | | |
| Kenampakan mikroskopis batuan ini berwarna abu-abu kecoklatan pada nikol sejajar, dan berwarna abu-abu kehitaman pada nikol silang. Batuan ini telah teralterasi lemah dengan ukuran mineral 0,05 – 0,3 mm, terdiri atas mineral kuarsa, klorit, epidot, plagioklas, klinopiroksin dan opak, bentuk subhedral-anhedral. | | |
| Deskripsi Mineralogi (<i>Mineralogy Of Description</i>) | | |
| Komposisi Mineral <i>Compostition of Mineral</i> | Jumlah Amount (%) | Keterangan optik mineral <i>Description of Optical Mineralogy</i> |
| Kuarsa (Qtz) | 40 | Warna absorpsi abu-abu, warna interferensi putih abu-abu, pecahan tidak ada, belahan tidak ada, pleokroisme monokroik, intensitas sedang-kuat, relief sedang-tinggi, sudut gelapan 29°, ukuran mineral 0,05 mm |
| Plagioklas (Plg) | 15 | Warna absorpsi putih abu-abu, warna interferensi putih, pecahan tidak rata, belahan 1 arah, pleokroisme monokroik, intensitas sedang-kuat, relief sedang-tinggi, sudut gelapan 43°, ukuran mineral 0,1 – 0,3 mm. |
| Klinopiroksin (Clpx) | 5 | Warna absorpsi abu-abu kecoklatan, warna interferensi biru keunguan, pecahan tidak ada, belahan 1 arah, intensitas sedang, relief rendah, pleokroisme monokroik, sudut gelapan 44°, ukuran mineral 0,05 mm. |
| Klorit (Chl) | 15 | Warna absorpsi coklat kehijauan, warna interferensi kuning kehijauan, pecahan tidak rata, belahan tidak rata, sudut gelapan 10°, ukuran mineral 0,1 mm. |
| Epidot (Ep) | 15 | Warna absorpsi abu-abu kecokelatan, warna interferensi kuningan kecoklatan, pecahan tidak rata, belahan tidak jelas, sudut gelapan 16°, intensitas sedang, relief sedang, pleokroisme monokroik, ukuran 0,05 mm. |
| Mineral Opak (Op) | 10 | Warna absorpsi dan warna interferensi hitam, ukuran 0,1 – 0,2 mm |

Foto :

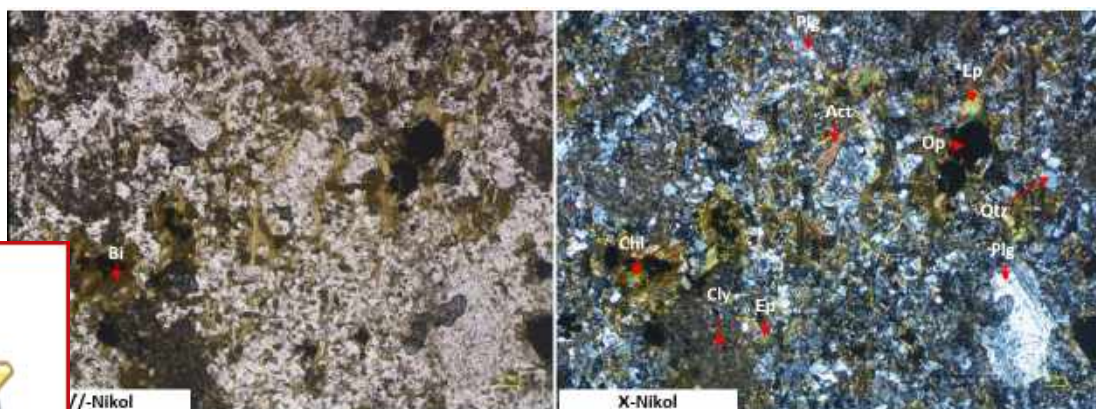


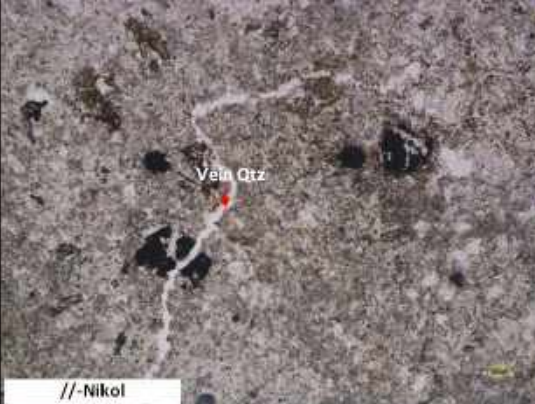
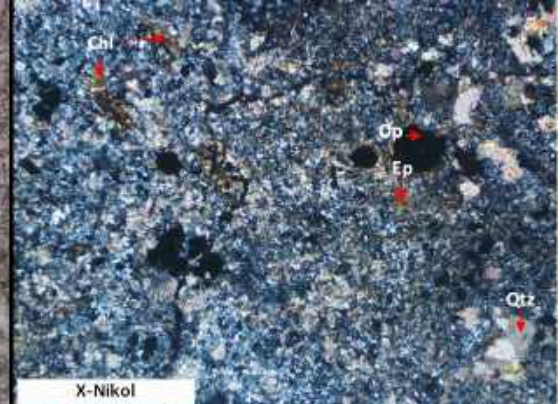
| No Stasiun : ST-6 | | |
|--|-------------------|---|
| Lokasi : Sungai Ballasa | | |
| Kode Sampel (<i>Sample ID</i>) : ST-6A | | |
| Jenis Sampel (<i>Sample type</i>) : Basal teralterasi kuat (<i>vein</i>) | | |
| Tipe Alterasi (<i>Alteration type</i>) : Kuarsa dan epidot | | |
| Mikroskopis (<i>Microscopic</i>) : | | |
| Kenampakan mikroskopis batuan ini berwarna abu-abu kecoklatan pada nikol sejajar, dan berwarna abu-abu kecoklatan pada nikol silang. Batuan ini telah teralterasi kuat dengan ukuran mineral 0,05 – 0,5 mm, terdiri atas mineral kuarsa, epidot dan opak, bentuk subhedral-anhedral. | | |
| Deskripsi Mineralogi (<i>Mineralogy Of Description</i>) | | |
| Komposisi Mineral <i>Compostion of Mineral</i> | Jumlah Amount (%) | Keterangan optik mineral <i>Description of Optical Mineralogy</i> |
| Kuarsa (Qtz) | 50 | Warna absorpsi abu-abu, warna interferensi putih abu-abu, pecahan tidak ada, belahan tidak ada, pleokrisme monokroik, intensitas sedang-kuat, relief sedang-tinggi, sudut gelapan 29°, ukuran mineral 0,05 – 0,5 mm |
| Epidot (Ep) | 30 | Warna absorpsi abu-abu kecoklatan, warna interferensi kuning kecoklatan, pecahan tidak rata, belahan tidak jelas, sudut gelapan 16°, intensitas sedang, relief sedang, pleokroisme monokroik, ukuran 0,05 – 0,1 mm. |
| Mineral Opak (Op) | 20 | Warna absorpsi dan warna interferensi hitam, ukuran 0,1 – 0,2 mm |
| Foto : | | |
|  | | |



| No Stasiun : ST-6 | Lokasi : Sungai Ballasa | |
|--|-----------------------------|--|
| Kode Sampel (<i>Sample ID</i>) : ST-6B | | |
| Jenis Sampel (<i>Sample type</i>) : Basal (teralterasi kuat) | | |
| Tipe Alterasi (<i>Alteration type</i>) : Kuarsa, aktinolit, biotit, klorit, epidot dan clay | | |
| Mikroskopis (Microscopic) : | | |
| Kenampakan mikroskopis batuan ini berwarna abu-abu kecoklatan pada nikol sejajar, dan berwarna abu-abu kecoklatan pada nikol silang. Batuan ini telah teralterasi kuat dengan ukuran mineral 0,05 – 0,5 mm, terdiri atas mineral kuarsa, plagioklas, aktinolit, klorit, epidot, biotit, mineral lempung dan opak, bentuk subhedral-anhedral. | | |
| Deskripsi Mineralogi (Mineralogy Of Description) | | |
| Komposisi Mineral <i>Compostion of Mineral</i> | Jumlah <i>Amount (%)</i> | Keterangan optik mineral <i>Description of Optical Mineralogy</i> |
| Kuarsa (Qtz) | 25 | Warna absorpsi abu-abu, warna interferensi putih abu-abu, pecahan tidak ada, belahan tidak ada, pleokroisme monokroik, intensitas sedang-kuat, relief sedang-tinggi, sudut gelapan 43° , ukuran mineral 0,05 – 0,5 mm |
| Plagioklas (Plg) | 10 | Warna absorpsi putih abu-abu, warna interferensi putih, pecahan tidak rata, belahan tidak jelas, pleokroisme monokroik, intensitas sedang-kuat, relief sedang-tinggi, sudut gelapan 18° , ukuran mineral 0,05 – 0,1 mm. |
| Aktinolit (Act) | 5 | Warna absorpsi coklat, warna interferensi kuning keunguan, pecahan tidak ada, belahan satu arah, pleokroisme monokroik, sudut gelapan 29° , ukuran mineral 0,05 – 0,2 mm |
| Biotit (Bi) | 10 | Warna absorpsi abu-abu coklat, warna interferensi kuning kecoklatan, pecahan tidak ada, belahan 1 arah, sudut gelapan 31° , ukuran mineral 0,2-0,3 mm. |
| Klorit (Chi) | 20 | Warna absorpsi coklat kehijauan, warna interferensi kuning kehijauan, pecahan tidak rata, belahan tidak jelas, sudut gelapan 21° , ukuran mineral 0,1 – 0,2 mm. |
| Epidot (Ep) | 20 | Warna absorpsi abu-abu kecokelatan, warna interferensi kuning kehijauan, pecahan tidak ada, belahan tidak jelas, sudut gelapan 31° , intensitas sedang, relief sedang, pleokroisme monokroik, ukuran 0,05 mm. |
| Mineral Lempung (Cly) | 5 | Warna absorpsi cokelat dan warna interferensi coklat kehitaman, ukuran mineral <0,05 mm. |
| Mineral Opak (Op) | 5 | Warna absorpsi dan warna interferensi hitam, ukuran 0,1 – 0,2 mm |

Foto :

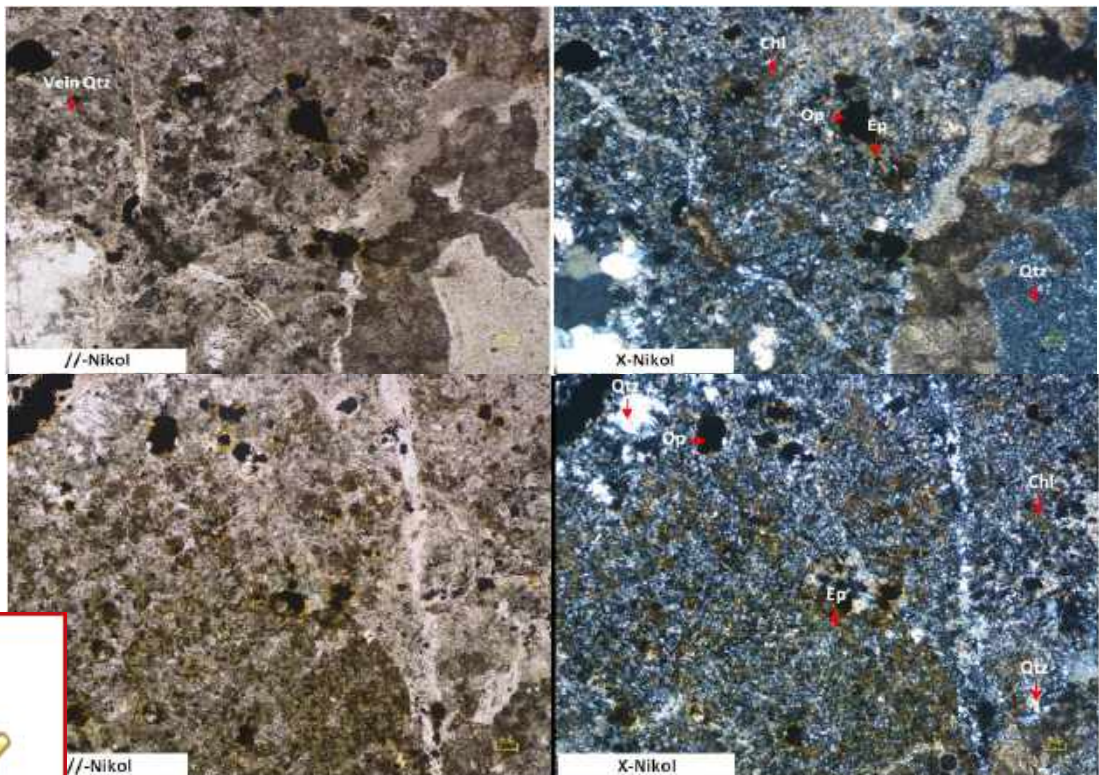


| No Stasiun : ST-6 | Lokasi : Sungai Ballasa | |
|---|---|---|
| Kode Sampel (<i>Sample ID</i>) : ST-6C | | |
| Jenis Sampel (<i>Sample type</i>) : Basal (teralterasi kuat) | | |
| Tipe Alterasi (<i>Alteration type</i>) : Kuarsa, epidot dan klorit | | |
| Mikroskopis (Microscopic) : | | |
| Kenampakan mikroskopis batuan ini berwarna abu-abu kecoklatan pada nikol sejajar, dan berwarna abu-abu kecoklatan pada nikol silang. Batuan ini telah teralterasi kuat dengan ukuran mineral 0,05 – 0,2 mm, terdiri atas mineral kuarsa, epidot, dan opak, bentuk subhedral-anhedral. | | |
| Deskripsi Mineralogi (Mineralogy Of Description) | | |
| Komposisi Mineral <i>Compostion of Mineral</i> | Jumlah <i>Amount (%)</i> | Keterangan optik mineral <i>Description of Optical Mineralogy</i> |
| Kuarsa (Qtz) | 50 | Warna absorpsi abu-abu, warna interferensi putih, pecahan tidak ada, belahan tidak ada, pleokrisme monokroik, intensitas sedang-kuat, relief sedang-tinggi, sudut gelapan 22°, ukuran mineral 0,05 – 0,1 mm |
| Epidot (Ep) | 20 | Warna absorpsi abu-abu kecokelatan, warna interferensi kuning kehijauan, pecahan tidak ada, belahan tidak jelas, sudut gelapan 31°, pleokrisme monokroik, ukuran 0,05 mm. |
| Klorit (Chl) | 20 | Warna absorpsi coklat kehijauan, warna interferensi kuning kehijauan, pecahan tidak rata, belahan tidak jelas, sudut gelapan 21°, ukuran mineral 0,1 – 0,2 mm. |
| Mineral Opak (Op) | 10 | Warna absorpsi dan warna interferensi hitam, ukuran 0,1 – 0,2 mm |
| Foto : | | |
|  // - Nikol |  X - Nikol | |

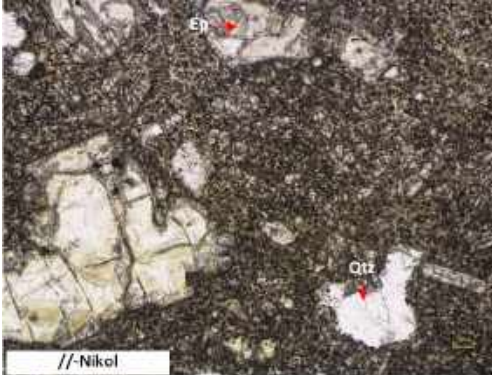
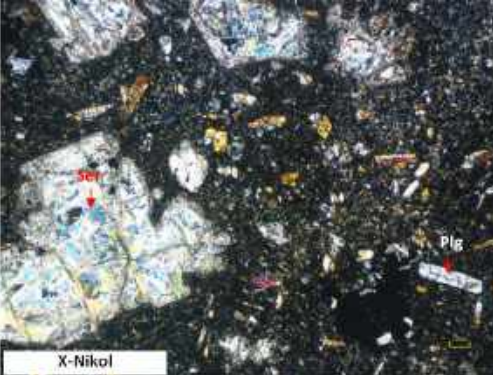
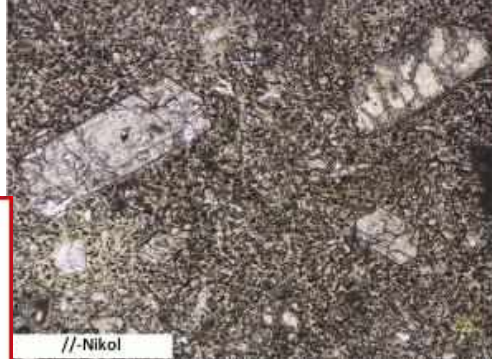
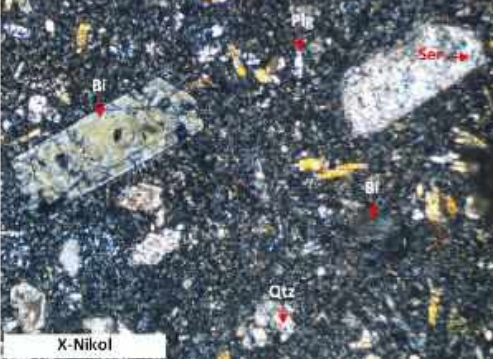


| No Stasiun : ST-7 | | |
|--|-------------------------------------|---|
| Lokasi : Sungai Ballasa | | |
| Kode Sampel (<i>Sample ID</i>) : ST-7A | | |
| Jenis Sampel (<i>Sample type</i>) : Basal teralterasi kuat (<i>vein</i>) | | |
| Tipe Alterasi (<i>Alteration type</i>) : Kuarsa, klorit dan epidot | | |
| Mikroskopis (Microscopic) : Kenampakan mikroskopis batuan ini berwarna abu-abu kecoklatan pada nikol sejajar, dan berwarna abu-abu kecoklatan pada nikol silang. Batuan ini telah teralterasi kuat dengan ukuran mineral 0,05 – 0,5 mm, terdiri atas mineral kuarsa, klorit, epidot dan opak, bentuk subhedral-anhedral. | | |
| Deskripsi Mineralogi (Mineralogy Of Description) | | |
| Komposisi Mineral <i>Compositon of Mineral</i> | Jumlah <i>Amount (%)</i> | Keterangan optik mineral <i>Description of Optical Mineralogy</i> |
| Kuarsa (Qtz) | 60 | Warna absorpsi putih abu-abu, warna interferensi putih, pecahan tidak, belahan tidak ada, pleokroisme monokroik, intensitas sedang-kuat, relief sedang-tinggi, sudut gelapan 21°, ukuran mineral 0,1 – 0,3 mm |
| Klorit (Chl) | 15 | Warna absorpsi coklat kekuningan, warna interferensi kuning kecoklatan, pecahan tidak rata, belahan tidak jelas, sudut gelapan 37°, ukuran mineral 0,1 – 0,2 mm. |
| Epidot (Ep) | 15 | Warna absorpsi abu-abu kecokelatan, warna interferensi kuning kehijauan, pecahan tidak ada, belahan tidak jelas, sudut gelapan 18°, pleokroisme monokroik, ukuran 0,05 mm. |
| Mineral Opak (Op) | 10 | Warna absorpsi dan warna interferensi hitam, ukuran 0,1 – 0,3 mm |

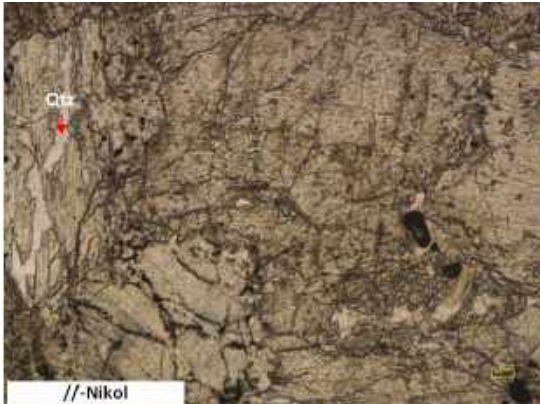
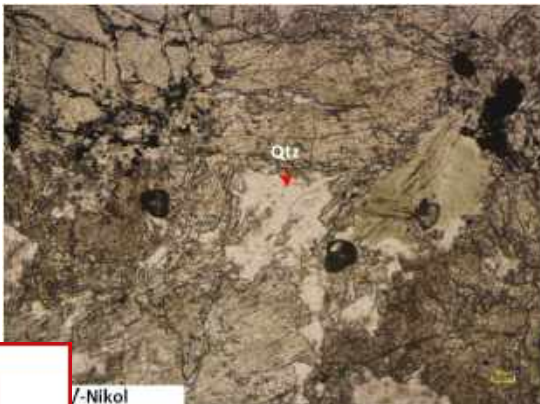
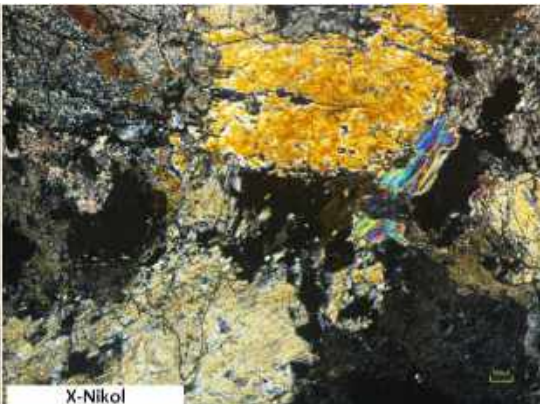
Foto :



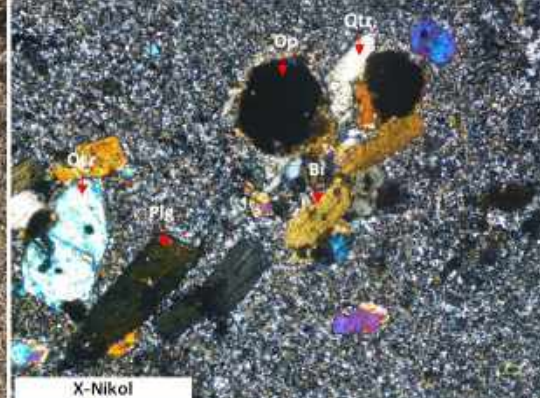
| No Stasiun : ST-7 | Lokasi : Sungai Ballasa | |
|---|-----------------------------|---|
| Kode Sampel (<i>Sample ID</i>) : ST-7B | | |
| Jenis Sampel (<i>Sample type</i>) : Basal scoria teralterasi kuat (<i>dike</i>) | | |
| Tipe Alterasi (<i>Alteration type</i>) : Kuarsa dan klorit | | |
| Mikroskopis (Microscopic) : Kenampakan mikroskopis batuan ini berwarna abu-abu sampai coklat kehitaman pada nikol sejajar, dan berwarna abu-abu kehitaman pada nikol silang. Batuan ini telah teralterasi lemah dengan ukuran mineral <0,05 – 0,4mm, terdiri atas mineral kuarsa, klorit dan plagioklas, bentuk subhedral-anhedral. | | |
| Deskripsi Mineralogi (Mineralogy Of Description) | | |
| Komposisi Mineral <i>Compostition of Mineral</i> | Jumlah <i>Amount (%)</i> | Keterangan optik mineral <i>Description of Optical Mineralogy</i> |
| Kuarsa (Qtz) | 50 | Warna absorpsi putih abu-abu, warna interferensi putih, pecahan tidak, belahan tidak ada, pleokrisme dwikroik, intensitas sedang-kuat, relief sedang-tinggi, sudut gelapan 43° , ukuran mineral 0,05 – 0,4 mm |
| Plagioklas (Plg) | 30 | Warna absorpsi putih abu-abu, warna interferensi putih, pecahan tidak rata, belahan tidak jelas, pleokrisme dwikroik, intensitas sedang-kuat, relief sedang-tinggi, sudut gelapan 18° , ukuran mineral 0,1 – 0,3 mm. |
| Klorit (Chl) | 20 | Warna absorpsi coklat kekuningan, warna interferensi kuning kecoklatan, pecahan tidak rata, belahan tidak jelas, sudut gelapan 27° , ukuran mineral <0,05 mm. |
| Mineral Opak (Op) | 10 | Warna absorpsi dan warna interferensi hitam, ukuran 0,1 – 0,3 mm |
| Foto : | | |
| //Nikol | X-Nikol | |

| No Stasiun : ST-7 | Lokasi : Sungai Ballasa | |
|--|---|---|
| Kode Sampel (<i>Sample ID</i>) : ST-7C | Jenis Sampel (<i>Sample type</i>) : Basal (teralterasi kuat) | |
| Tipe Alterasi (<i>Alteration type</i>) : Kuarsa, biotit, epidot dan serosit. | | |
| Mikroskopis (<i>Microscopic</i>) : | Kenampakan mikroskopis batuan ini berwarna abu-abu kecoklatan pada nikol sejajar, dan berwarna abu-abu kehitaman pada nikol silang. Batuan ini telah teralterasi lemah dengan ukuran mineral 0,05 – 0,7 mm, terdiri atas mineral kuarsa, plagioklas, epidot, biotit dan serosit, bentuk subhedral-anhedral. | |
| Deskripsi Mineralogi (<i>Mineralogy Of Description</i>) | | |
| Komposisi Mineral <i>Compostition of Mineral</i> | Jumlah <i>Amount (%)</i> | Keterangan optik mineral <i>Description of Optical Mineralogy</i> |
| Kuarsa (Qtz) | 30 | Warna absorpsi putih abu-abu, warna interferensi putih, pecahan tidak rata, belahan tidak ada, pleokroisme dwikroik, intensitas sedang-kuat, relief sedang-tinggi, sudut gelapan 31° , ukuran mineral 0,05 – 0,2 mm |
| Plagioklas (Plg) | 15 | Warna absorpsi putih abu-abu, warna interferensi putih, pecahan tidak rata, belahan tidak jelas, pleokroisme dwikroik, intensitas sedang-kuat, relief sedang-tinggi, sudut gelapan 39° , ukuran mineral 0,05 – 0,3 mm. |
| Biotit (Bi) | 15 | Warna absorpsi abu-abu coklat, warna interferensi kuning kecoklatan, pecahan tidak rata, belahan 1 arah, sudut gelapan $46,2^\circ$, ukuran mineral 0,3 - 0,7 mm. |
| Serosit (Ser) | 15 | Warna absorpsi putih, warna interferensi biru keunguan, pecahan tidak jelas, belahan tidak ada, sudut gelapan 51° , ukuran mineral 0,05 – 0,1 mm. |
| Epidot (Ep) | 25 | Warna absorpsi coklat kehijauan, pecahan tidak ada, belahan tidak jelas, sudut gelapan 21° , pleokroisme monokroik, ukuran 0,05 mm. |
| Foto : | | |
|   | | |
|   | | |

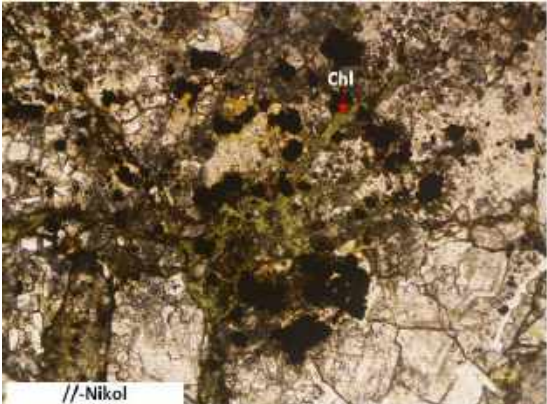
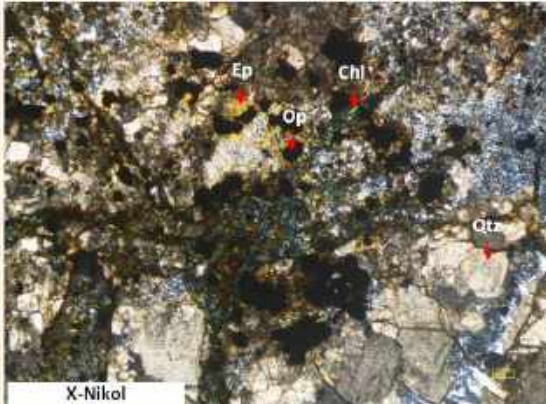


| No Stasiun : ST-8 | | |
|---|---|---|
| Lokasi : Sungai Ballasa | | |
| Kode Sampel (<i>Sample ID</i>) : ST-8A | | |
| Jenis Sampel (<i>Sample type</i>) : Gabro (teralterasi kuat) | | |
| Tipe Alterasi (<i>Alteration type</i>) : Kuarsa dan biotit | | |
| Mikroskopis (<i>Microscopic</i>) : | Kenampakan mikroskopis batuan ini berwarna abu-abu kecoklatan pada nikol sejajar, dan berwarna abu-abu coklat pada nikol silang. Batuan ini tak teralterasi dengan ukuran mineral 0,05 – 0,7 mm, terdiri atas mineral kuarsa dan biotit, bentuk subhedral-anhedral. | |
| Deskripsi Mineralogi (<i>Mineralogy Of Description</i>) | | |
| Komposisi Mineral <i>Compostion of Mineral</i> | Jumlah <i>Amount (%)</i> | Keterangan optik mineral <i>Description of Optical Mineralogy</i> |
| Kuarsa (Qtz) | 20 | Warna absorpsi putih abu-abu, warna interferensi putih, pecahan tidak, belahan tidak ada, pleokisme dwikroik, intensitas sedang-kuat, relief sedang-tinggi, sudut gelapan 44°, ukuran mineral 0,05 – 0,2 mm |
| Biotit (Bi) | 25 | Warna absorpsi abu-abu coklat, warna interferensi kuning kecoklatan, pecahan tidak rata, belahan 1 arah, sudut gelapan 24°, ukuran mineral 0,3 - 0,7 mm. |
| Olivin (Ol) | 55 | Warna absorpsi coklat, warna interferensi kuning, pecahan tidak ada, belahan dua arah, relief rendah sudut gelapan 18°, ukuran mineral 0,2-0,3 mm. |
| Foto : | | |
|  |  | |
|  |  | |



| No Stasiun : ST-8 | | |
|--|--|--|
| Lokasi : Sungai Ballasa | | |
| Kode Sampel (<i>Sample ID</i>) : ST-8B | | |
| Jenis Sampel (<i>Sample type</i>) : Basal (tak teralterasi) | | |
| Tipe Alterasi (<i>Alteration type</i>) : Kuarsa dan biotit | | |
| Mikroskopis (<i>Microscopic</i>) : | | |
| Kenampakan mikroskopis batuan ini berwarna abu-abu kecoklatan pada nikol sejajar, dan berwarna abu-abu kehitaman pada nikol silang. Batuan ini tak teralterasi dengan ukuran mineral 0,05 – 0,6 mm, terdiri atas mineral kuarsa, plagioklas, biotit dan opak, bentuk subhedral-anhedral. | | |
| Deskripsi Mineralogi (<i>Mineralogy Of Description</i>) | | |
| Komposisi Mineral <i>Compostition of Mineral</i> | Jumlah <i>Amount (%)</i> | Keterangan optik mineral <i>Description of Optical Mineralogy</i> |
| Kuarsa (Qtz) | 45 | Warna absorpsi putih abu-abu, warna interferensi putih, pecahan tidak, belahan tidak ada, pleokrisme dwikroik, intensitas sedang-kuat, relief sedang-tinggi, sudut gelapan 37° , ukuran mineral 0,05 – 0,3 mm |
| Biotit (Bi) | 20 | Warna absorpsi abu-abu coklat, warna interferensi kuning kecoklatan, pecahan tidak rata, belahan 1 arah, sudut gelapan 38° , ukuran mineral 0,1 - 0,3 mm. |
| Plagioklas (Plg) | 20 | Warna absorpsi putih abu-abu, warna interferensi putih, pecahan tidak rata, belahan tidak jelas, pleokroisme dwikroik, intensitas sedang-kuat, relief sedang-tinggi, sudut gelapan $35,2^\circ$, ukuran mineral 0,3 – 0,6 mm. |
| Mineral Opak (Op) | 15 | Warna absorpsi dan warna interferensi hitam, ukuran 0,2 mm |
| Foto : | | |
|  |  | |



| No Stasiun : ST-9 | Lokasi : Sungai Ballasa | |
|---|-----------------------------|---|
| Kode Sampel (<i>Sample ID</i>) : ST-9A (<i>vein</i>) | | |
| Jenis Sampel (<i>Sample type</i>) : Basal (teralterasi kuat) | | |
| Tipe Alterasi (<i>Alteration type</i>) : Kuarsa, klorit dan epidot | | |
| Mikroskopis (Microscopic) : | | |
| Kenampakan mikroskopis batuan ini berwarna abu-abu kecoklatan pada nikol sejajar, dan berwarna abu-abu kehitaman pada nikol silang. Batuan ini telah teralterasi kuat dengan ukuran mineral 0,05 – 0,6 mm, terdiri atas mineral kuarsa, klorit, epidot dan opak, bentuk subhedral-anhedral. | | |
| Deskripsi Mineralogi (Mineralogy Of Description) | | |
| Komposisi Mineral <i>Compostition of Mineral</i> | Jumlah <i>Amount (%)</i> | Keterangan optik mineral <i>Description of Optical Mineralogy</i> |
| Kuarsa (Qtz) | 40 | Warna absorpsi putih abu-abu, warna interferensi putih, pecahan tidak, belahan tidak ada, pleokrisme dwikroik, intensitas sedang-kuat, relief sedang-tinggi, sudut gelapan 47,1°, ukuran mineral <0,05 – 0,3 mm |
| Klorit (Chl) | 20 | Warna absorpsi coklat kekuningan, warna interferensi kuning kecoklatan, pecahan tidak rata, belahan tidak jelas, sudut gelapan 21°, ukuran mineral <0,05 mm. |
| Epidot (Ep) | 25 | Warna absorpsi abu-abu kecoklatan, warna interferensi kuning kehijauan, pecahan tidak ada, belahan tidak jelas, sudut gelapan 32,3°, pleokrisme monokroik, ukuran 0,05 mm. |
| Mineral Opak (Op) | 15 | Warna absorpsi dan warna interferensi hitam, ukuran 0,1 - 0,2 mm |
| Foto : | | |
|   | | |



LAMPIRAN C

ANALISIS MINERAGRAFI

| No Sampel : ST-2B | Lokasi : Sungai Muntia | |
|--|------------------------|--|
| Tipe Mineralisasi : Disseminated | | |
| Mineral Bijih : Pirit, sfalerit dan kovelit | | |
| Referensi : Marshall et al. (2004) | | |
| Deskripsi Mineralogi Bijih (Ore Mineralogy Description) | | |
| Komposisi Mineral <i>Composition of Mineral</i> | Simbol | Keterangan optik mineral <i>Description of Optical Mineralogy</i> |
| Pirit | Py | Warna putih kekuningan, bentuk subhedral-anhedral, anisotropik, tidak memiliki pleokroisme, ukuran mineral 0,1 - 0,3 mm. |
| Covelit | Cv | Warna biru, bentuk subhedral-anhedral, tidak memiliki pleokroisme, ukuran mineral 0,005 mm. |
| Sfalerit | Sp | Warna abu-abu, bentuk subhedral-anhedral, anisotropik, tidak ada pleokroisme, ukuran mineral 0,02-0,05 mm. |

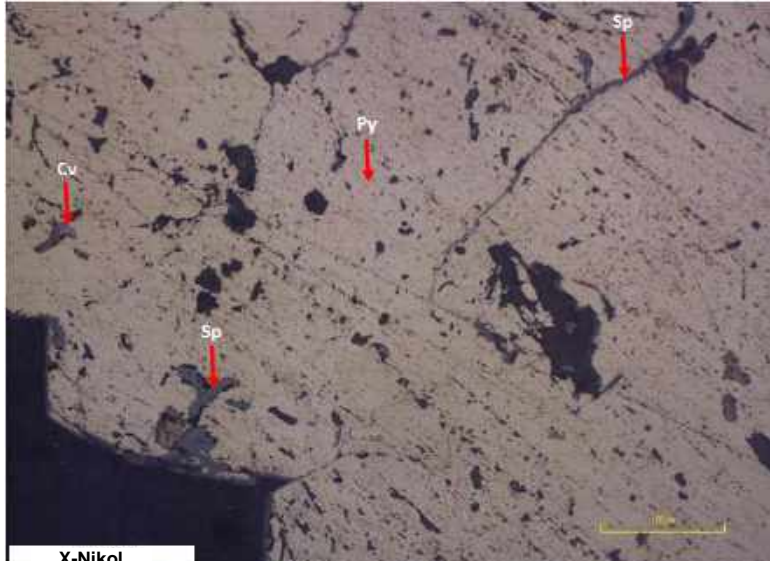
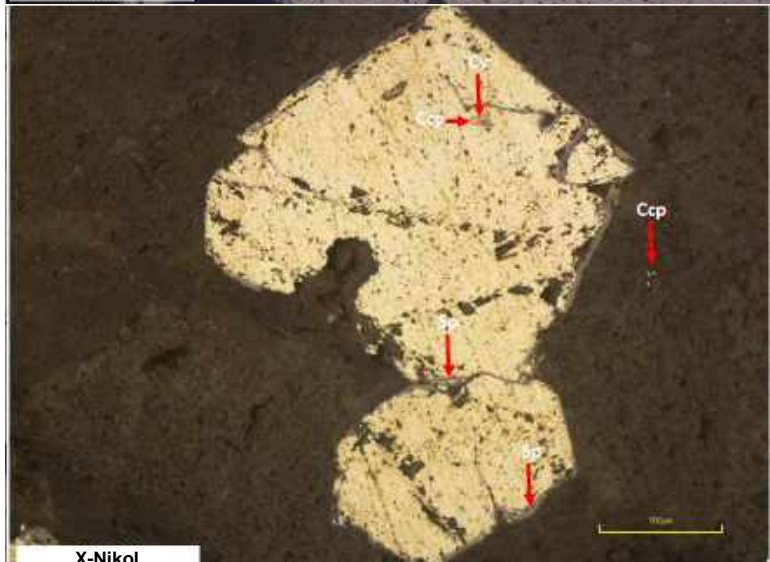


X-Nikol



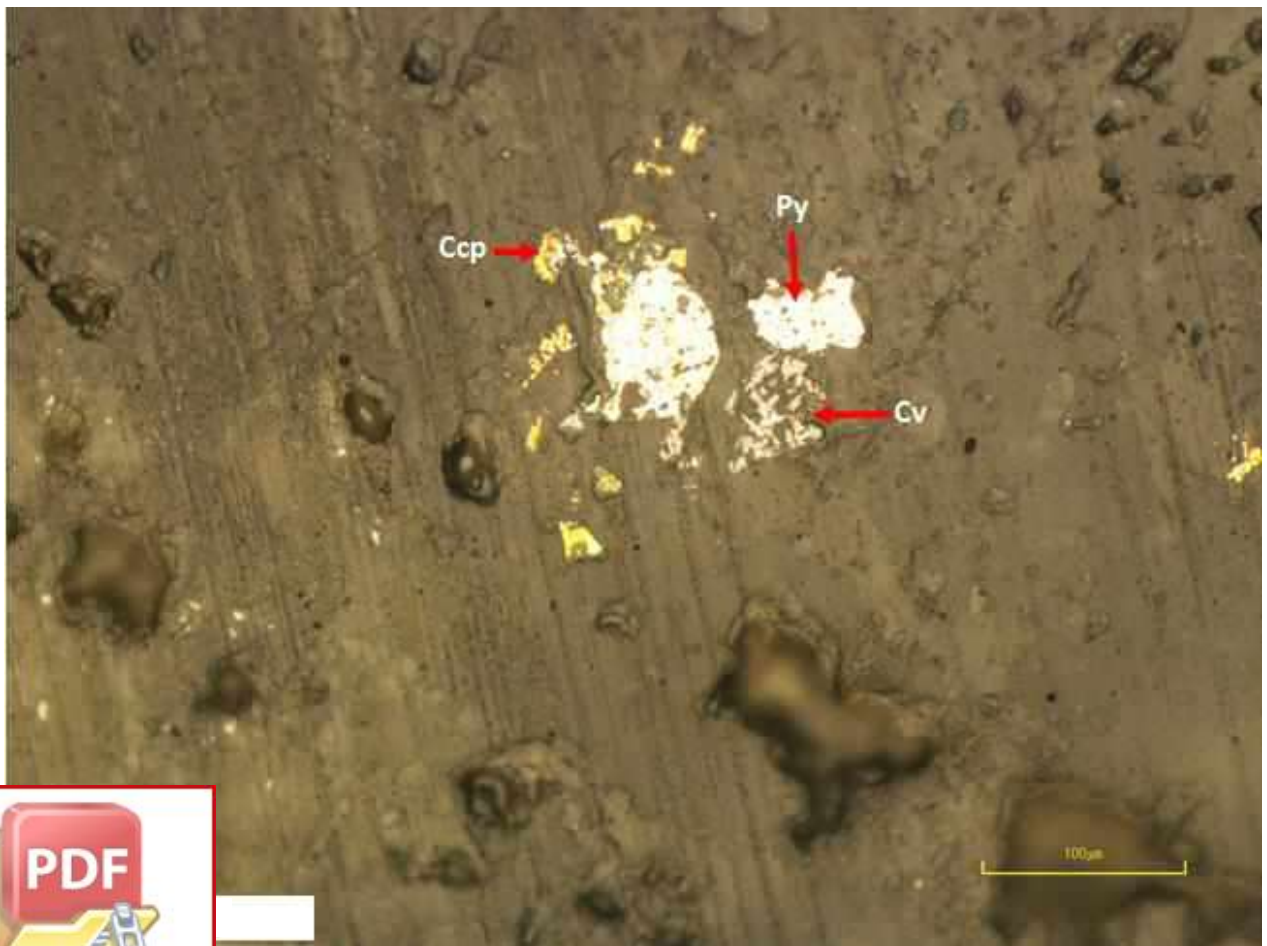
X-Nikol

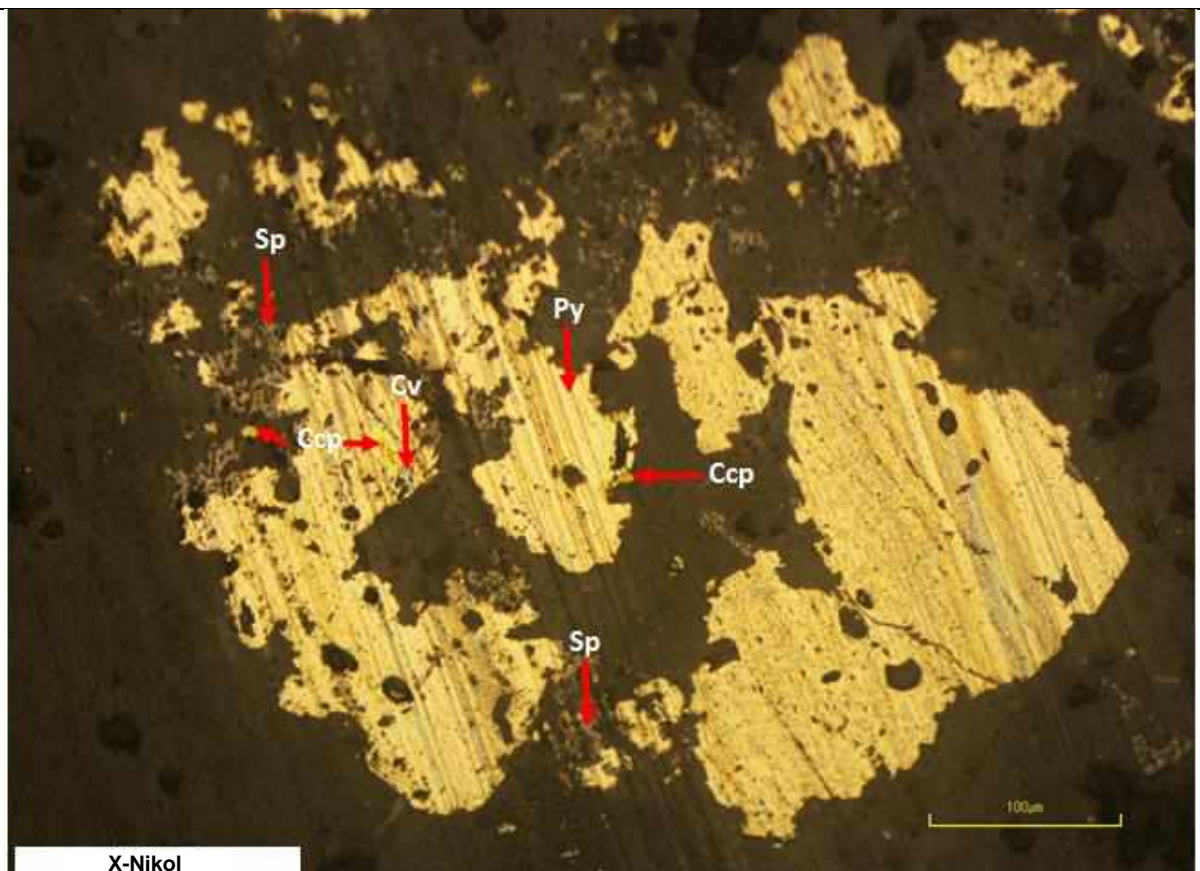


| No Sampel : ST-6A | Lokasi : Sungai Ballasa | |
|---|-------------------------|--|
| Tipe Mineralisasi : Vein | | |
| Mineral Bijih : Pirit, kalkopirit, covelit dan sfalerit | | |
| Referensi : Marshall <i>et al.</i> (2004) | | |
| Deskripsi Mineralogi Bijih (<i>Ore Mineralogy Description</i>) | | |
| Komposisi Mineral <i>Composition of Mineral</i> | Simbol | Keterangan optik mineral <i>Description of Optical Mineralogy</i> |
| Pirit | Py | Warna putih kekuningan, bentuk subhedral-anhedral, terdapat striasi, anisotropik, tidak memiliki pleokroisme, ukuran mineral 0,1 - 0,3 mm. |
| Kalkopirit | Ccp | Warna kuning cerah, bentuk anhedral, anisotropik, tidak ada pleokroisme, ukuran mineral 0,05 mm. |
| Sfalerit | Sp | Warna abu-abu, bentuk subhedral-anhedral, anisotropik, tidak ada pleokroisme, ukuran mineral 0,02-0,05 mm. |
| Covelit | Cv | Warna biru, bentuk anhedral, tidak memiliki pleokroisme, ukuran mineral <0.025 mm. |
|  <p>X-Nikol</p> | | |
|  <p>X-Nikol</p> | | |

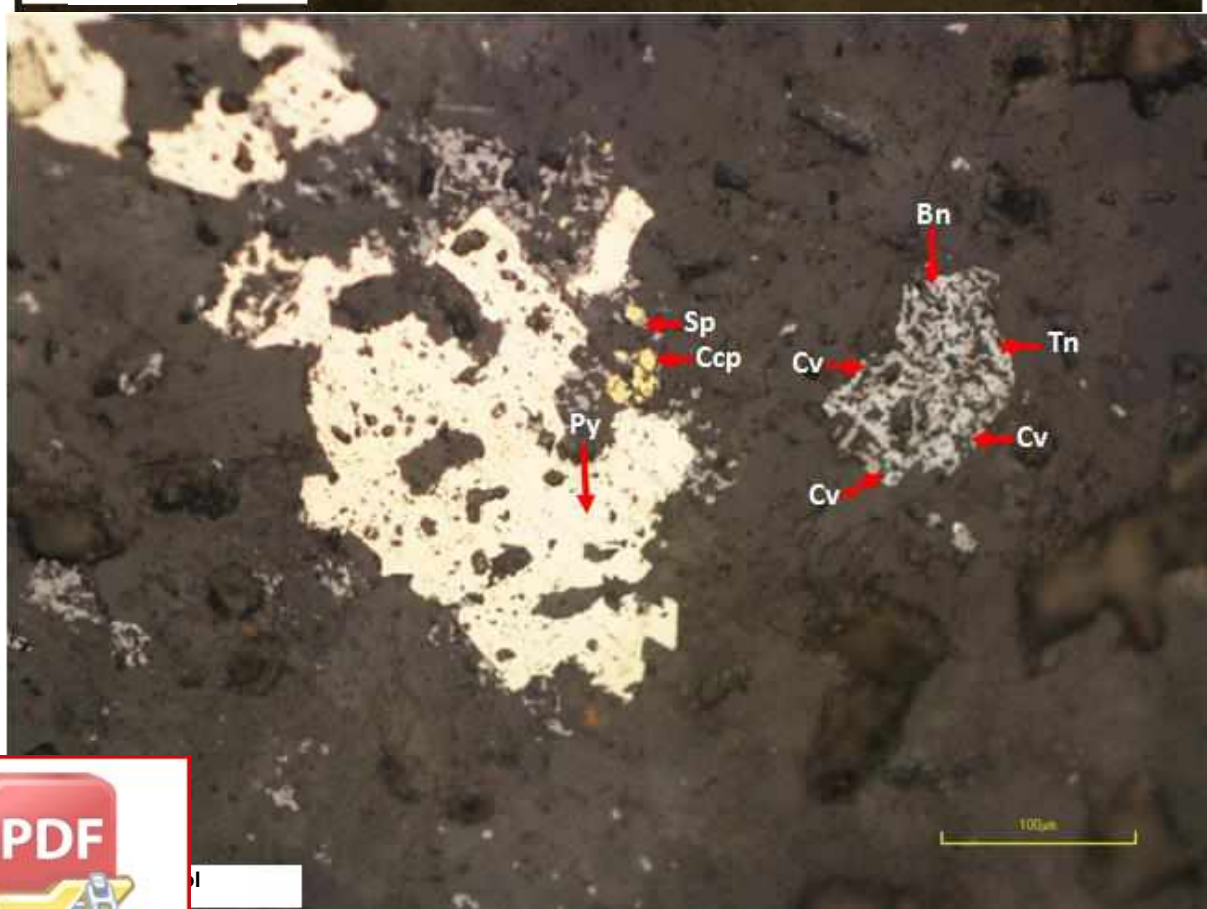


| No Sampel : ST-6B | Lokasi : Sungai Ballasa (<i>Host Rock</i>) | |
|---|--|--|
| Tipe Mineralisasi : <i>Disseminated</i> | | |
| Mineral Bijih : Pirit, kalkopirit, sfalerit tenantit dan kovelit | | |
| Referensi : Marshall <i>et al.</i> (2004) | | |
| Deskripsi Mineralogi Bijih (<i>Ore Mineralogy Description</i>) | | |
| Komposisi Mineral <i>Composition of Mineral</i> | Simbol | Keterangan optik mineral <i>Description of Optical Mineralogy</i> |
| Pirit | Py | Warna putih kekuningan, bentuk subhedral-anhedral, terdapat striasi, anisotropik, tidak memiliki pleokroisme, ukuran mineral 0,1 - 0,3 mm. |
| Kalkopirit | Ccp | Warna kuning cerah, bentuk anhedral, anisotropik, tidak ada pleokroisme, ukuran mineral 0,05 mm. |
| kovelit | Cv | Warna biru, bentuk subhedral-anhedral, tidak memiliki pleokroisme, ukuran mineral 0,05 mm. |
| Sfalerit | Sp | Warna abu-abu gelap, bentuk subhedral-anhedral, anisotropik, tidak ada pleokroisme, ukuran mineral 0,02-0,05 mm. |
| Bornit | Bn | Warna kecoklatan, bentuk subhedral-anhedral, anisotropik, tidak ada pleokroisme, ukuran mineral 0,02-0,05 mm. |
| Tenantit | Tn | Warna putih keabu-abuan, bentuk subhedral-anhedral, anisotropik, tidak memiliki pleokroisme, ukuran <0,025 mm |





X-Nikol



| No Sampel : ST-7A | Lokasi : Sungai Ballasa | |
|---|-------------------------|---|
| Tipe Mineralisasi : Vein | | |
| Mineral Bijih : Pirit, kalkopirit, sfalerit dan kovelit | | |
| Referensi : Marshall <i>et al.</i> (2004) | | |
| Deskripsi Mineralogi Bijih (<i>Ore Mineralogy Description</i>) | | |
| Komposisi Mineral <i>Composition of Mineral</i> | Simbol | Keterangan optik mineral <i>Description of Optical Mineralogy</i> |
| Pirit | Py | Warna putih kekuningan, bentuk subhedral-anhedral, terdapat striasi, anisotropik, tidak memiliki pleokroisme, ukuran mineral 0,2 - 0,1 mm |
| Kalkopirit | Ccp | Warna kuning cerah, bentuk subhedral-anhedral, anisotropik, tidak memiliki pleokroisme, ukuran mineral <0,025 – 0,5 mm |
| Kovelit | Cv | Warna biru-ungu, bentuk anhedral, anisotropik, tidak memiliki pleokroisme, ukuran mineral <0,025 mm |
| Sfalerit | Sp | Warna abu-abu gelap, bentuk subhedral-anhedral, anisotropik, tidak memiliki pleokroisme, ukuran mineral 0,05 mm |



| | |
|-----------|------------------|
| No Sampel | : ST-9A |
| Lokasi | : Sungai Ballasa |

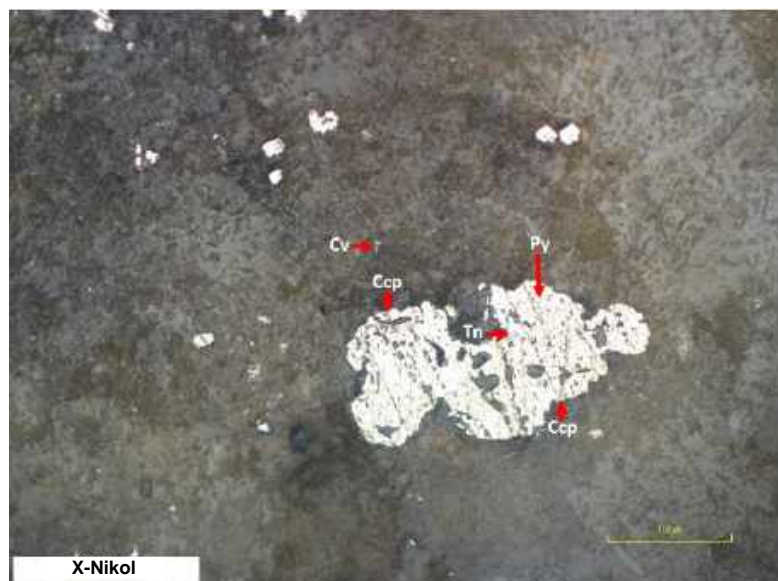
Tipe Mineralisasi : *Vein*

Mineral Bijih : Pirit, kalkopirit, tenantit dan kovelit

Referensi : Marshall et al. (2004)

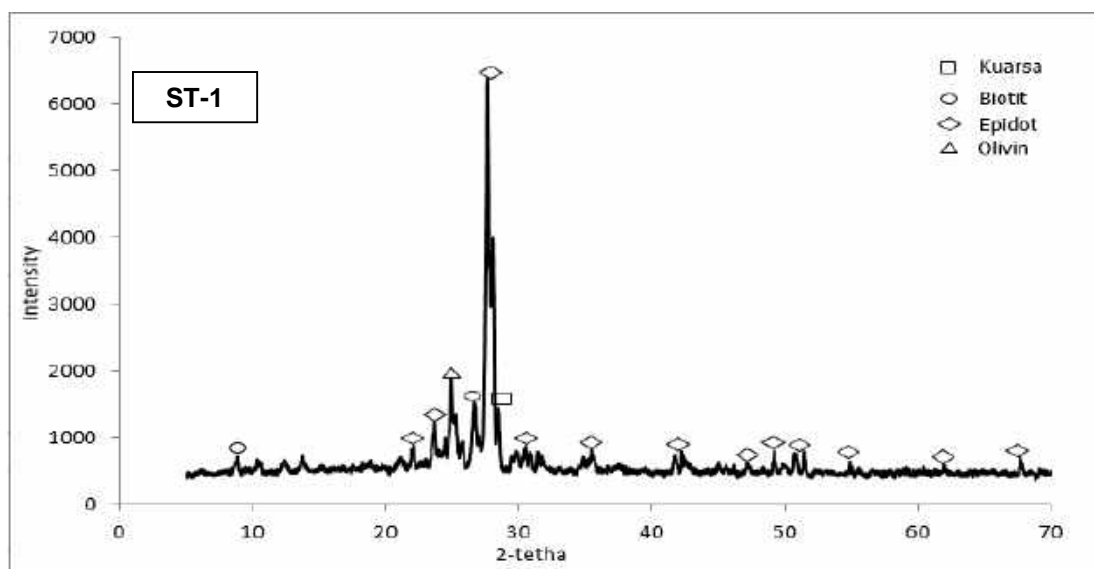
Deskripsi Mineralogi Bijih (Ore Mineralogy Description)

| Komposisi Mineral <i>Composition of Mineral</i> | Simbol | Keterangan optik mineral <i>Description of Optical Mineralogy</i> |
|--|--------|---|
| Pirit | Py | Warna putih kekuningan, bentuk subhedral-anhedral, terdapat striasi, anisotropik, tidak memiliki pleokroisme, ukuran mineral 0,05 - 0,1 mm. |
| Kalkopirit | Ccp | Warna kuning cerah, bentuk subhedral-anhedral, anisotropik, tidak ada pleokroisme, ukuran mineral 0,05 mm. |
| Kovelit | Cv | Warna biru, bentuk subhedral-anhedral, tidak memiliki pleokroisme, ukuran mineral <0,025 mm. |
| Tenantit | Tn | Warna putih keabu-abuan, bentuk subhedral-anhedral, anisotropik, tidak memiliki pleokroisme, ukuran <0,025 mm |

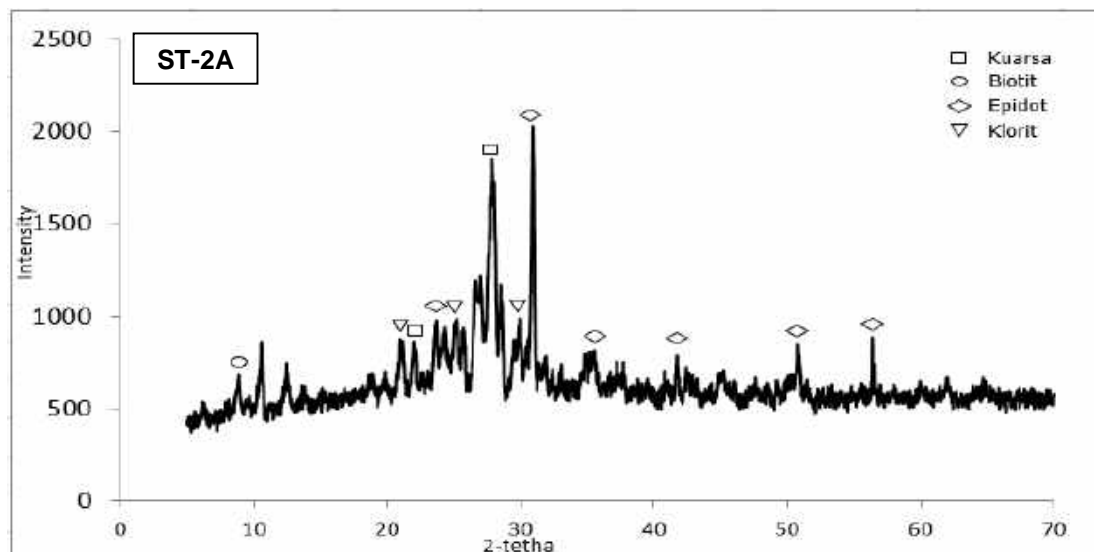


LAMPIRAN D

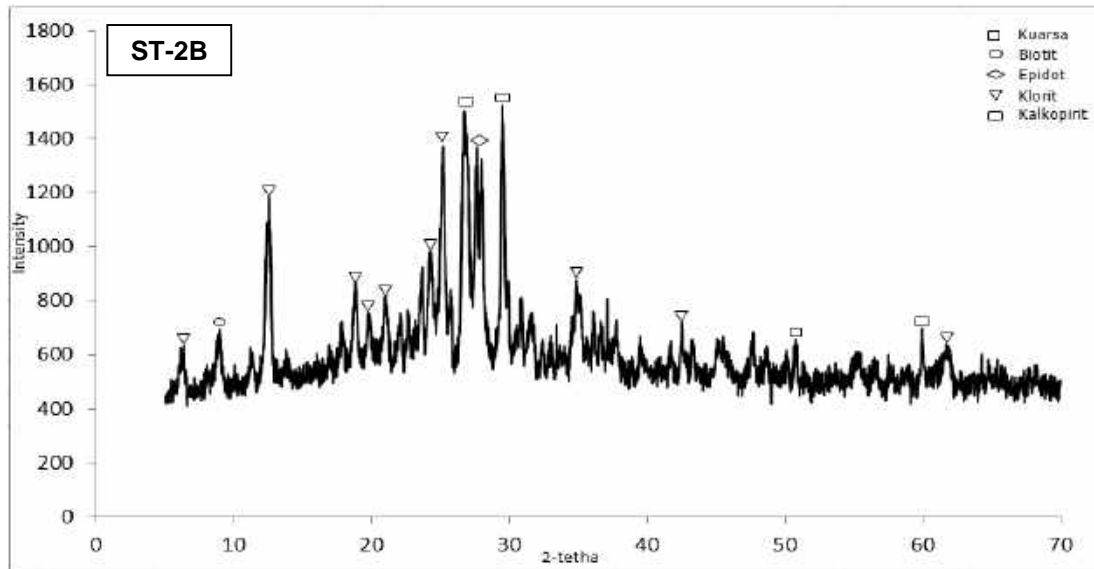
HASIL ANALISIS XRD



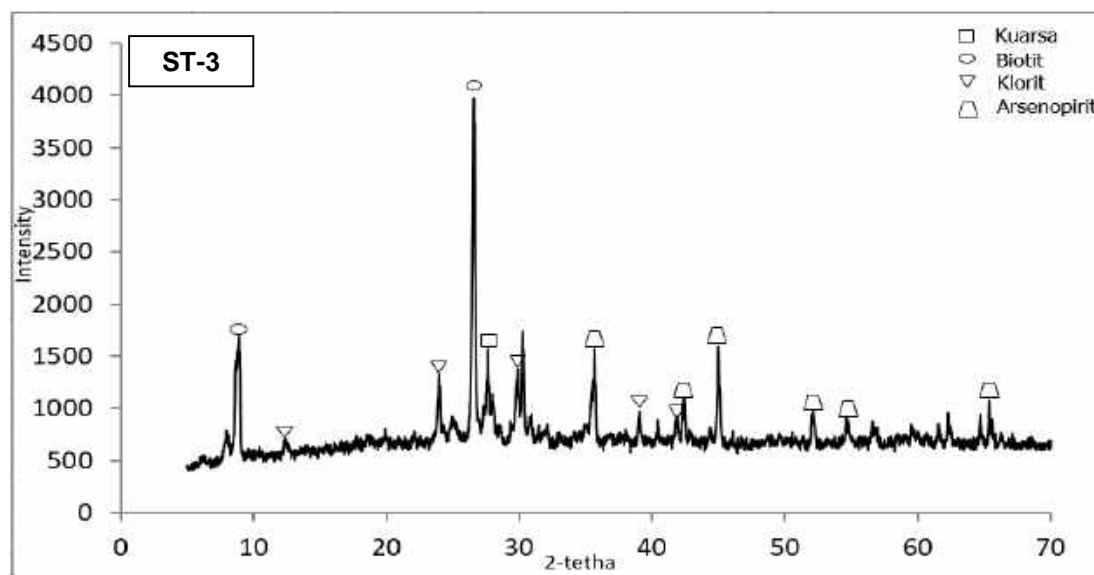
| Mineral | Percentase (%) |
|---------|----------------|
| Kuarsa | 32,9 |
| Epidot | 43,7 |
| Olivin | 16,8 |
| Biotit | 6,5 |



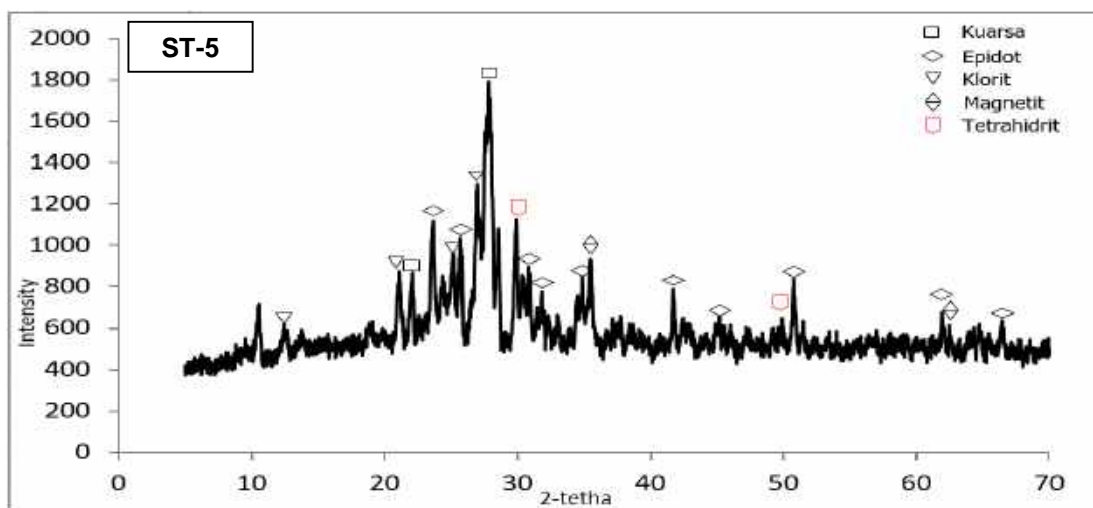
| Mineral | Percentase (%) |
|---------|----------------|
| Kuarsa | 52,3 |
| Epidot | 35,5 |
| Klorit | 7,1 |
| Biotit | 5,1 |



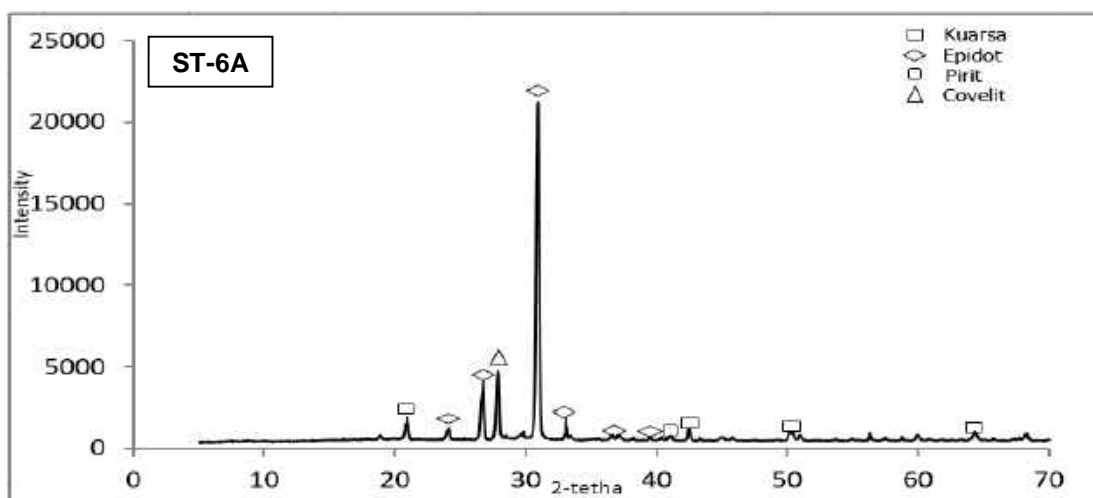
| Mineral | Percentase (%) |
|------------|----------------|
| Klorit | 40,4 |
| Kuarsa | 40,3 |
| Epidot | 8,0 |
| Kalkopirit | 6,7 |
| Biotit | 4,6 |



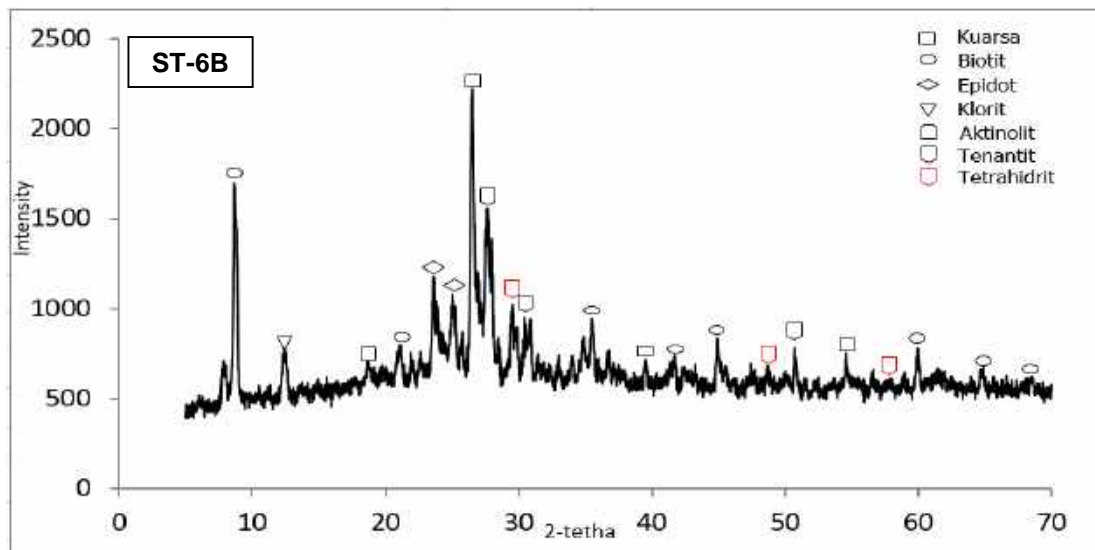
| Mineral | Percentase (%) |
|-------------|----------------|
| Arsenopirit | 53,6 |
| Klorit | 21,9 |
| Biotit | 16,0 |
| Kuarsa | 8,4 |



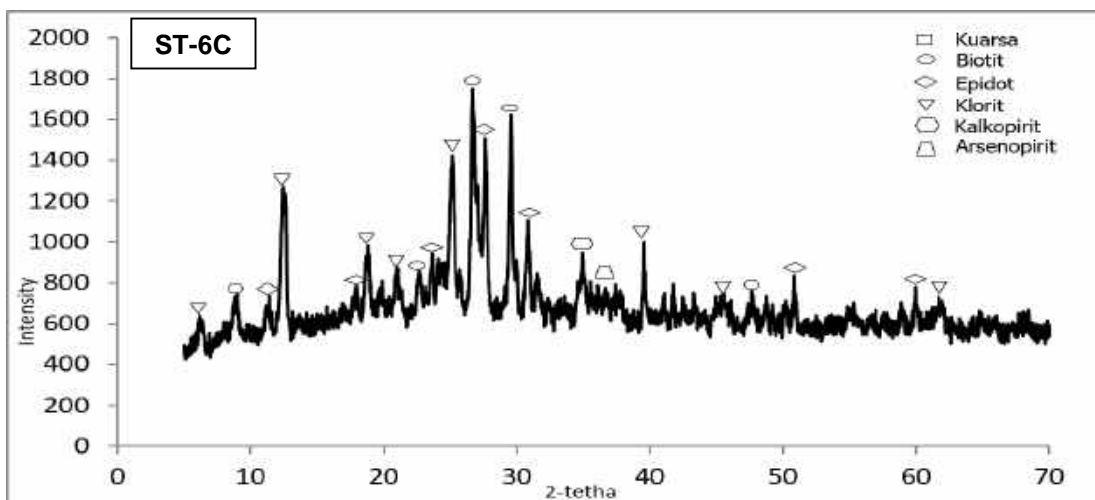
| Mineral | Percentase (%) |
|-------------|----------------|
| Kuarsa | 62,1 |
| Epidot | 18,1 |
| Klorit | 12,5 |
| Magnetit | 4,2 |
| Tetrahedrit | 3,2 |



| Mineral | Percentase (%) |
|---------|----------------|
| Epidot | 92,7 |
| Kuarsa | 4,1 |
| Kovelit | 2,2 |

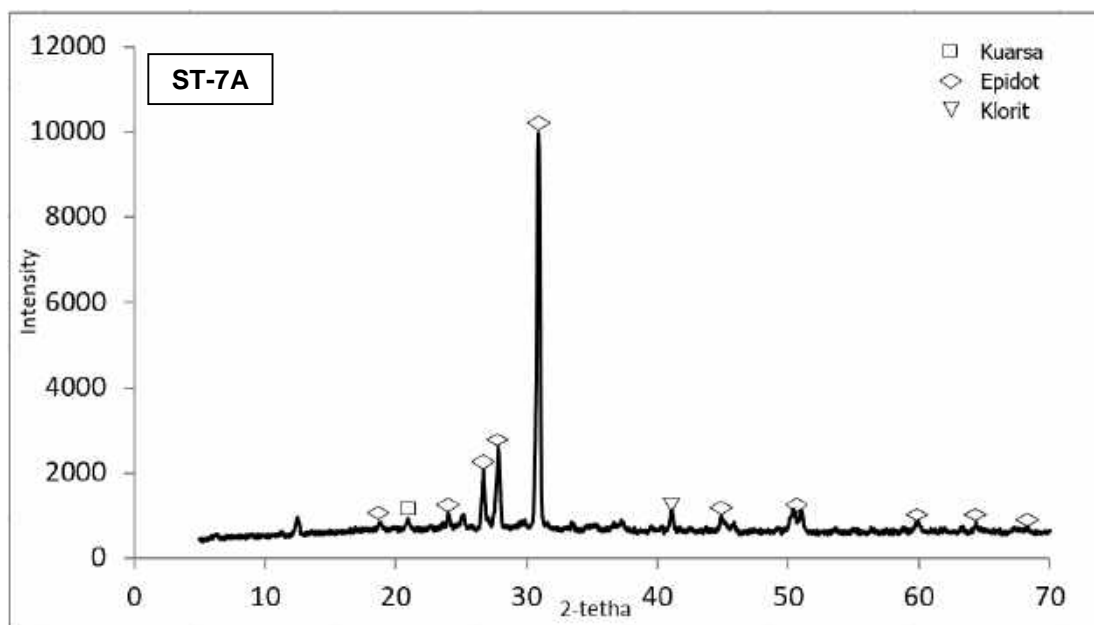


| Mineral | Percentase (%) |
|-------------|----------------|
| Kuarsa | 41,3 |
| Biotit | 29,5 |
| Aktinolit | 10,1 |
| Klorit | 9,6 |
| Epidot | 3,2 |
| Tenantit | 2,9 |
| Tetrahidrit | 2,6 |

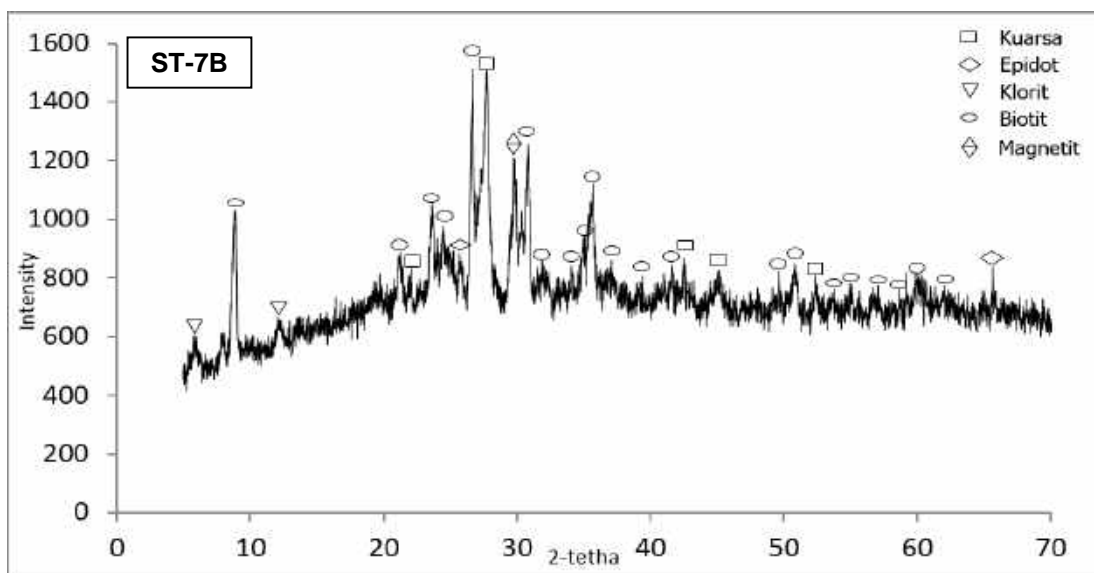


| Mineral | Percentase (%) |
|-------------|----------------|
| Klorit | 31,5 |
| Epidot | 26,5 |
| Biotit | 15,6 |
| Kuarsa | 15,4 |
| Kalkopirit | 5,6 |
| Arsenopirit | 5,5 |

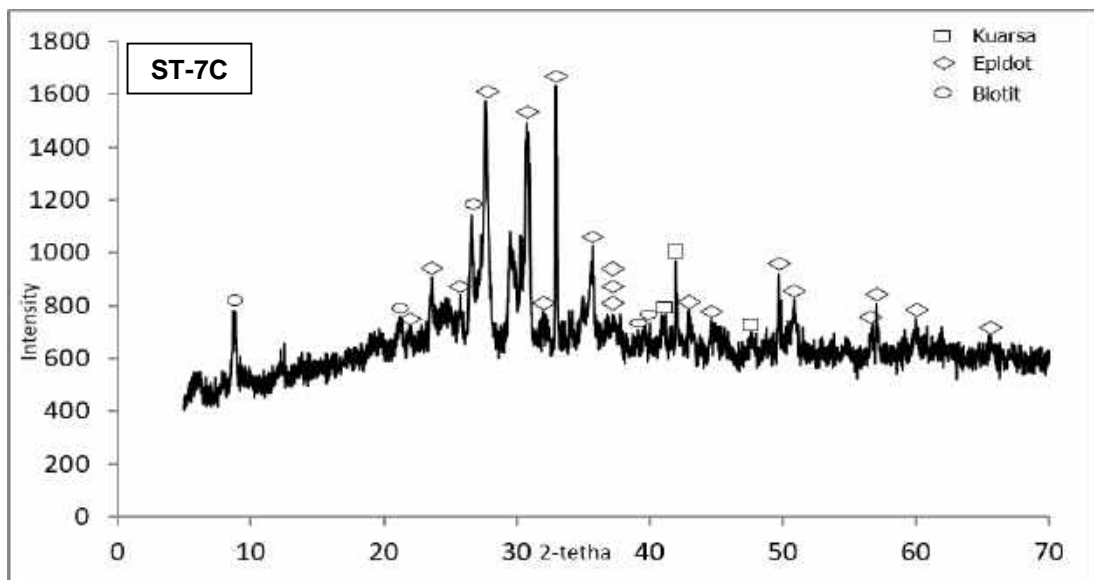




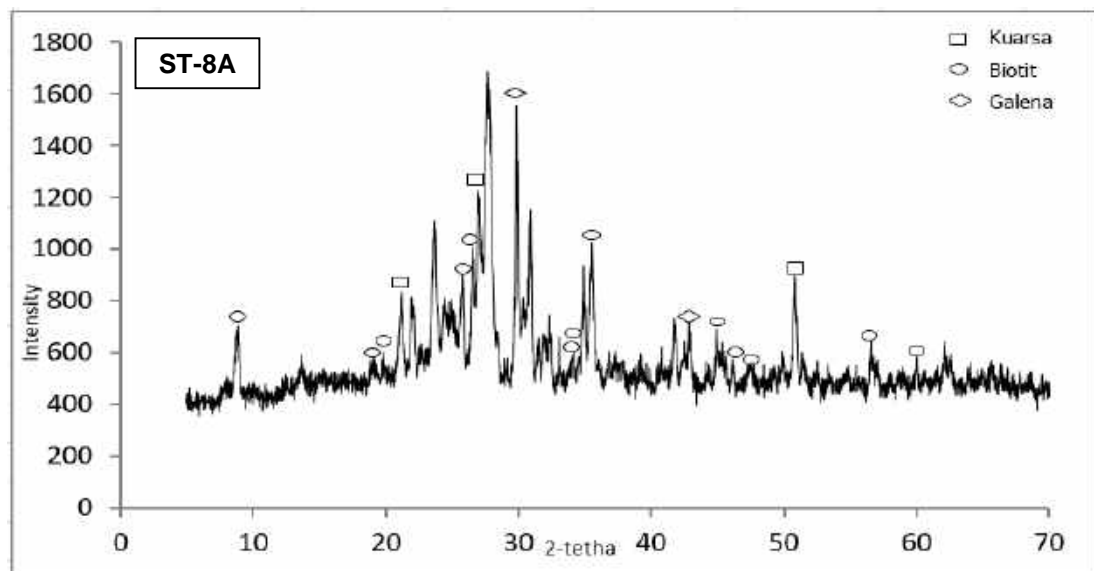
| Mineral | Percentase (%) |
|---------|----------------|
| Epidot | 76,5 |
| Klorit | 20,2 |
| Kuarsa | 3,4 |



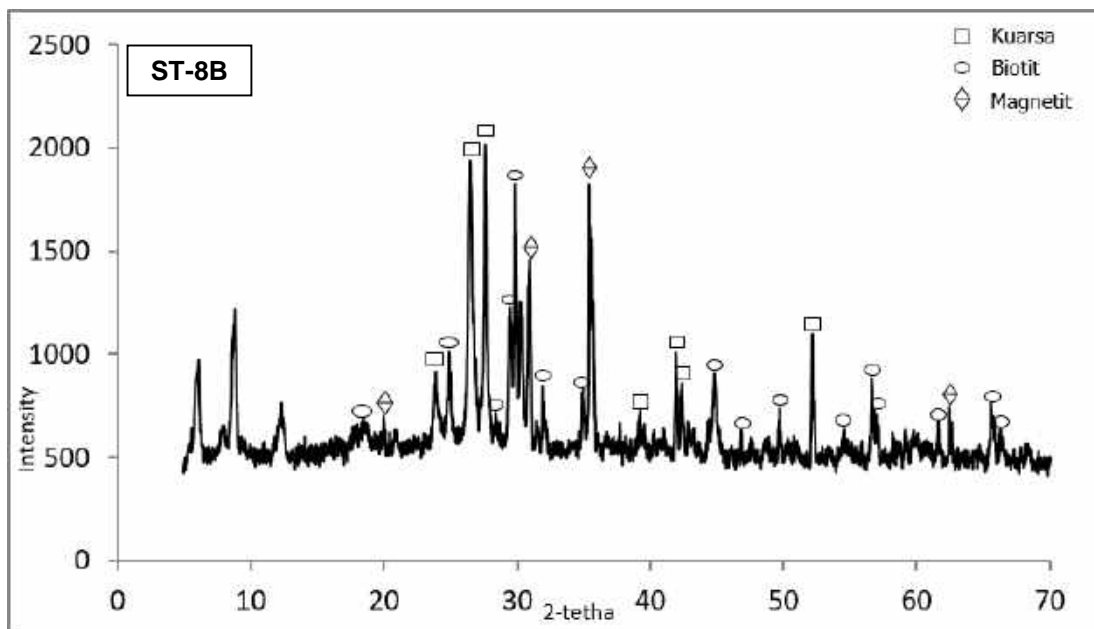
| Mineral | Percentase (%) |
|----------|----------------|
| Kuarsa | 40,9 |
| Biotit | 20,5 |
| Epidot | 19,7 |
| Klorit | 11,5 |
| Magnetit | 7,3 |



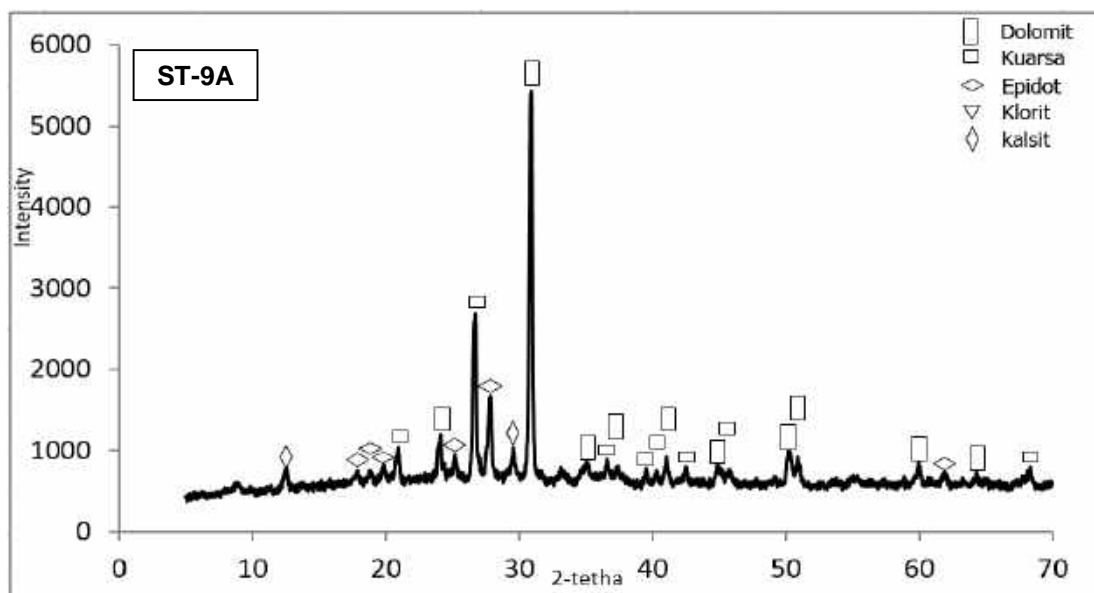
| Mineral | Percentase (%) |
|---------|----------------|
| Epidot | 51,4 |
| Kuarsa | 40,1 |
| Biotit | 8,5 |



| Mineral | Percentase (%) |
|---------|----------------|
| Kuarsa | 79,4 |
| Biotit | 15,0 |
| Galena | 5,6 |

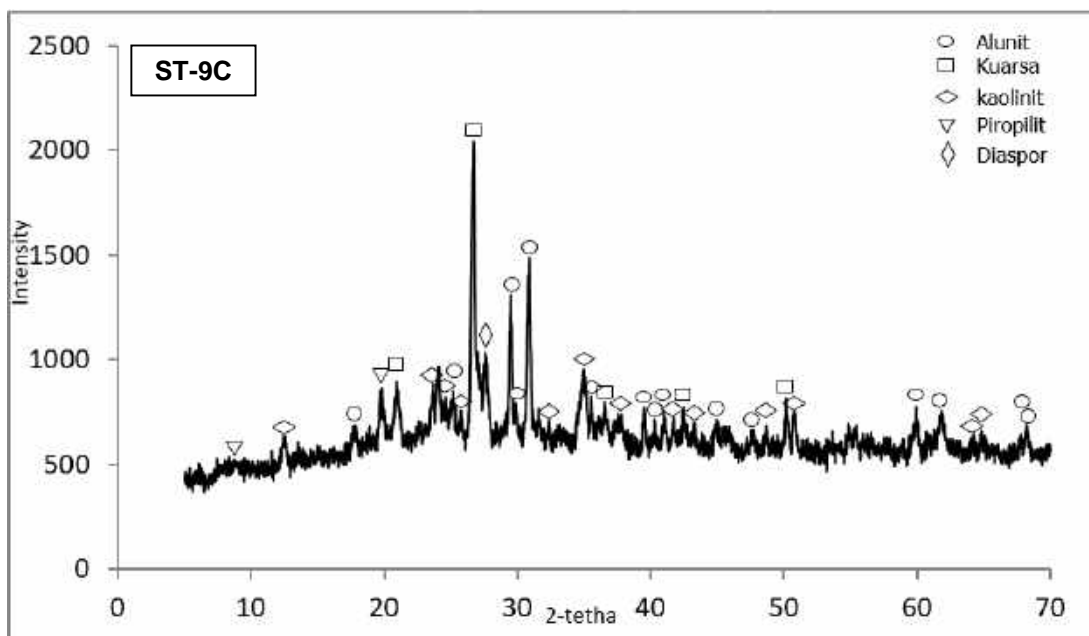


| Mineral | Percentase (%) |
|----------|----------------|
| Kuarsa | 45,1 |
| Biotit | 28,3 |
| Magnetit | 26,6 |



| Mineral | Percentase (%) |
|---------|----------------|
| Dolomit | 60,7 |
| Kuarsa | 16,4 |
| Epidot | 15,8 |
| Klorit | 4,3 |
| Kalsit | 2,7 |





| Mineral | Percentase (%) |
|-----------|----------------|
| Kuarsa | 29,3 |
| Alunit | 31,2 |
| Kaolinit | 20,0 |
| Piropilit | 15,0 |
| Diaspor | 4,4 |



LAMPIRAN E
HASIL ANALISIS GEOKIMIA (XRF, ICP MS DAN ICP OES)

| No. | Unsur | Satuan | Kode Sampel | | Metode | Limit Deteksi |
|-----|--------------------------------|--------|-------------|-------|--------|---------------|
| | | | ST-6B | ST-7A | | |
| 1 | Al ₂ O ₃ | % | 15,79 | 12,04 | XRF | 0,01 |
| 2 | CaO | % | 7,00 | 8,86 | XRF | 0,01 |
| 3 | Cr ₂ O ₃ | % | <0,01 | 0,01 | XRF | 0,01 |
| 4 | Fe ₂ O ₃ | % | 8,86 | 11,90 | XRF | 0,01 |
| 5 | K ₂ O | % | 6,21 | 5,03 | XRF | 0,01 |
| 6 | MgO | % | 5,43 | 7,49 | XRF | 0,01 |
| 7 | MnO | % | 0,22 | 0,28 | XRF | 0,01 |
| 8 | Na ₂ O | % | 1,33 | 0,43 | XRF | 0,01 |
| 9 | P ₂ O ₅ | % | 0,567 | 0,555 | XRF | 0,002 |
| 10 | SiO ₂ | % | 46,52 | 37,91 | XRF | 0,01 |
| 11 | TiO ₂ | % | 0,85 | 0,64 | XRF | 0,01 |
| 12 | S | % | 0,337 | >2 | XRF | 0,002 |
| 13 | LOI | % | 5,94 | 11,24 | XRF | 0,1 |

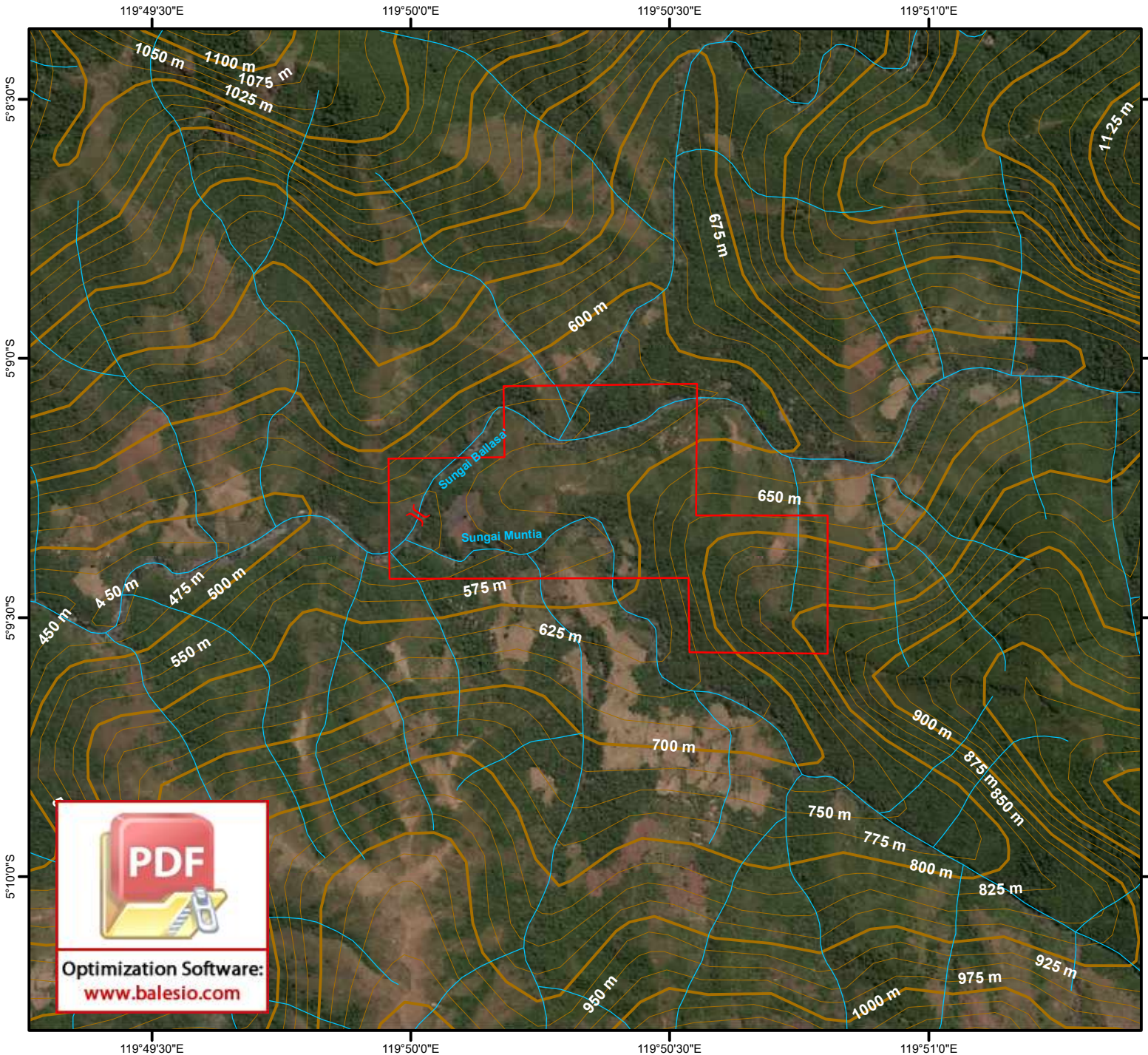
| No. | Unsur | Satuan | Kode Sampel | | Metode | Limit Deteksi |
|-----|-------|--------|-------------|-------|---------|---------------|
| | | | ST-6B | ST-7A | | |
| 1 | Al | PPM | 81300 | 67300 | ICP-OES | 50 |
| 3 | Ca | PPM | 52100 | 75900 | ICP-OES | 50 |
| 4 | Cr | PPM | 109 | 74 | ICP-OES | 5 |
| 5 | Cu | PPM | 121 | 22 | ICP-OES | 1 |
| 7 | Fe | % | 5,83 | 8,08 | ICP-OES | 0,01 |
| 8 | K | PPM | 48800 | 41900 | ICP-OES | 20 |
| 9 | Mg | PPM | 32400 | 47400 | ICP-OES | 20 |
| 10 | Mn | PPM | 1610 | 2170 | ICP-OES | 1 |
| | Na | PPM | 9580 | 3060 | ICP-OES | 20 |
| | Ni | PPM | 99 | 85 | ICP-OES | 1 |
| | P | PPM | 2470 | 2600 | ICP-OES | 50 |
| | S | PPM | 3100 | 24500 | ICP-OES | 50 |

| No. | Unsur | Satuan | Kode Sampel | | Metode | Limit Deteksi |
|-----|-------|--------|-------------|-------|---------|---------------|
| | | | ST-6B | ST-7A | | |
| 18 | Sc | PPM | 24 | 21 | ICP-OES | 1 |
| 20 | Ti | PPM | 4220 | 2840 | ICP-OES | 5 |
| 21 | V | PPM | 221 | 227 | ICP-OES | 1 |
| 22 | Zn | PPM | 100 | 105 | ICP-OES | 1 |
| 23 | Ag | PPM | <0,1 | 0,1 | ICP-MS | 0,1 |
| 24 | As | PPM | 7 | 43 | ICP-MS | 1 |
| 25 | Ba | PPM | 1050 | 1040 | ICP-MS | 1 |
| 26 | Be | PPM | 3,3 | 1,9 | ICP-MS | 0,5 |
| 27 | Bi | PPM | 0,08 | 1,85 | ICP-MS | 0,05 |
| 28 | Cd | PPM | 0,09 | 0,08 | ICP-MS | 0,05 |
| 29 | Co | PPM | 34 | 26 | ICP-MS | 1 |
| 31 | Cs | PPM | 9,9 | 10,7 | ICP-MS | 0,1 |
| 32 | Ga | PPM | 17,8 | 15,8 | ICP-MS | 0,1 |
| 33 | Ge | PPM | 0,8 | 1,1 | ICP-MS | 0,1 |
| 34 | Hf | PPM | 0,7 | 0,7 | ICP-MS | 0,1 |
| 35 | In | PPM | 0,05 | 0,06 | ICP-MS | 0,05 |
| 36 | Li | PPM | 8,2 | 9,8 | ICP-MS | 0,1 |
| 37 | Mo | PPM | 0,5 | 1,4 | ICP-MS | 0,1 |
| 38 | Nb | PPM | 4,7 | 4,3 | ICP-MS | 0,1 |
| 39 | Pb | PPM | 22 | 22 | ICP-MS | 1 |
| 40 | Rb | PPM | 188 | 146 | ICP-MS | 0,1 |
| 41 | Re | PPM | <0,05 | <0,05 | ICP-MS | 0,05 |
| 42 | Sb | PPM | 1,6 | 2,5 | ICP-MS | 0,1 |
| 43 | Se | PPM | 1 | 1 | ICP-MS | 1 |
| 44 | Sn | PPM | 2,4 | 3,1 | ICP-MS | 0,1 |
| 45 | Sr | PPM | 1040 | 744 | ICP-MS | 0,5 |
| 46 | Ta | PPM | 0,48 | 0,33 | ICP-MS | 0,05 |
| 47 | Te | PPM | <0,1 | <0,1 | ICP-MS | 0,1 |
| 48 | Th | PPM | 13,3 | 12 | ICP-MS | 0,05 |
| 49 | Tl | PPM | 0,91 | 0,97 | ICP-MS | 0,02 |
| 50 | U | PPM | 3,52 | 2,38 | ICP-MS | 0,05 |
| 51 | W | PPM | 1 | 6,3 | ICP-MS | 0,1 |
| | Y | PPM | 21,2 | 15,5 | ICP-MS | 0,1 |
| | Zr | PPM | 15,9 | 15,6 | ICP-MS | 0,5 |
| | Ce | PPM | 62,7 | 44,6 | ICP-MS | 0,1 |
| | Dy | PPM | 4,7 | 3,3 | ICP-MS | 0,1 |



| No. | Unsur | Satuan | Kode Sampel | | Metode | Limit Deteksi |
|-----|-------|--------|-------------|-------|--------|---------------|
| | | | ST-6B | ST-7A | | |
| 56 | Er | PPM | 2,3 | 1,4 | ICP-MS | 0,1 |
| 57 | Eu | PPM | 2,1 | 1,6 | ICP-MS | 0,1 |
| 58 | Gd | PPM | 6,6 | 4,2 | ICP-MS | 0,1 |
| 59 | Ho | PPM | 0,8 | 0,6 | ICP-MS | 0,1 |
| 60 | La | PPM | 32,3 | 22,1 | ICP-MS | 0,1 |
| 61 | Lu | PPM | 0,23 | 0,15 | ICP-MS | 0,05 |
| 62 | Nd | PPM | 33,3 | 23,8 | ICP-MS | 0,1 |
| 63 | Pr | PPM | 8,16 | 5,65 | ICP-MS | 0,05 |
| 64 | Sm | PPM | 7,3 | 5,2 | ICP-MS | 0,1 |
| 65 | Tb | PPM | 0,85 | 0,59 | ICP-MS | 0,05 |
| 66 | Tm | PPM | 0,3 | 0,2 | ICP-MS | 0,1 |
| 67 | Yb | PPM | 1,8 | 1,2 | ICP-MS | 0,1 |





PETA LOKASI PENELITIAN

DAERAH CINDAKKO DESA BONTOSOMBA
KECAMATAN TOMPOBULU
KABUPATEN MAROS



Skala 1:20.000

Interval kontur 25 m

0 135 270 540 810 1.080 Meter

Datum.....WGS 84

Zona UTM.....50S

Sistem Koordinat.....Geografis

Legenda

Area penelitian



Jembatan



PROGRAM MAGISTER TEKNIK GEOLOGI
FAKULTAS TEKNIK
UNIVERSITAS HASANUDDIN
MAKASSAR
2019

TESIS

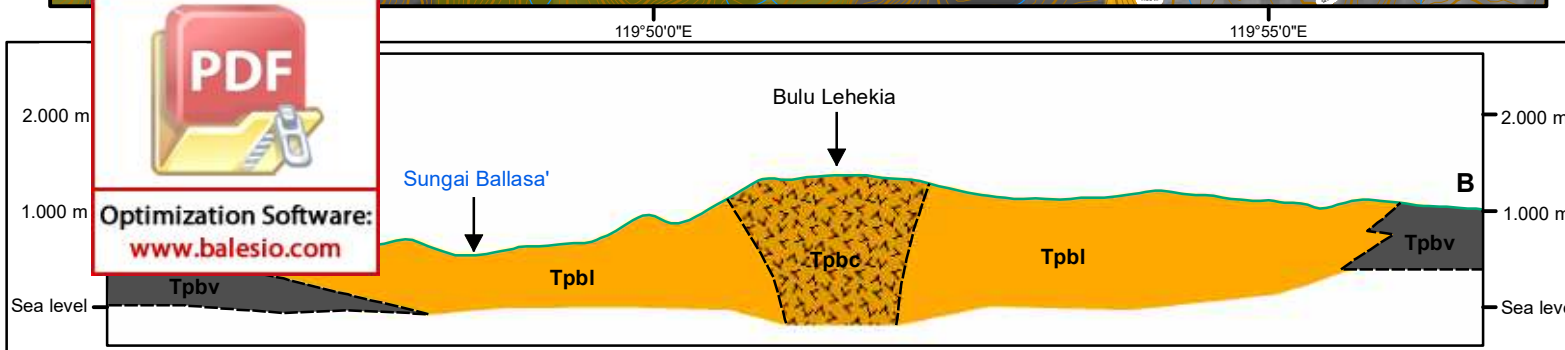
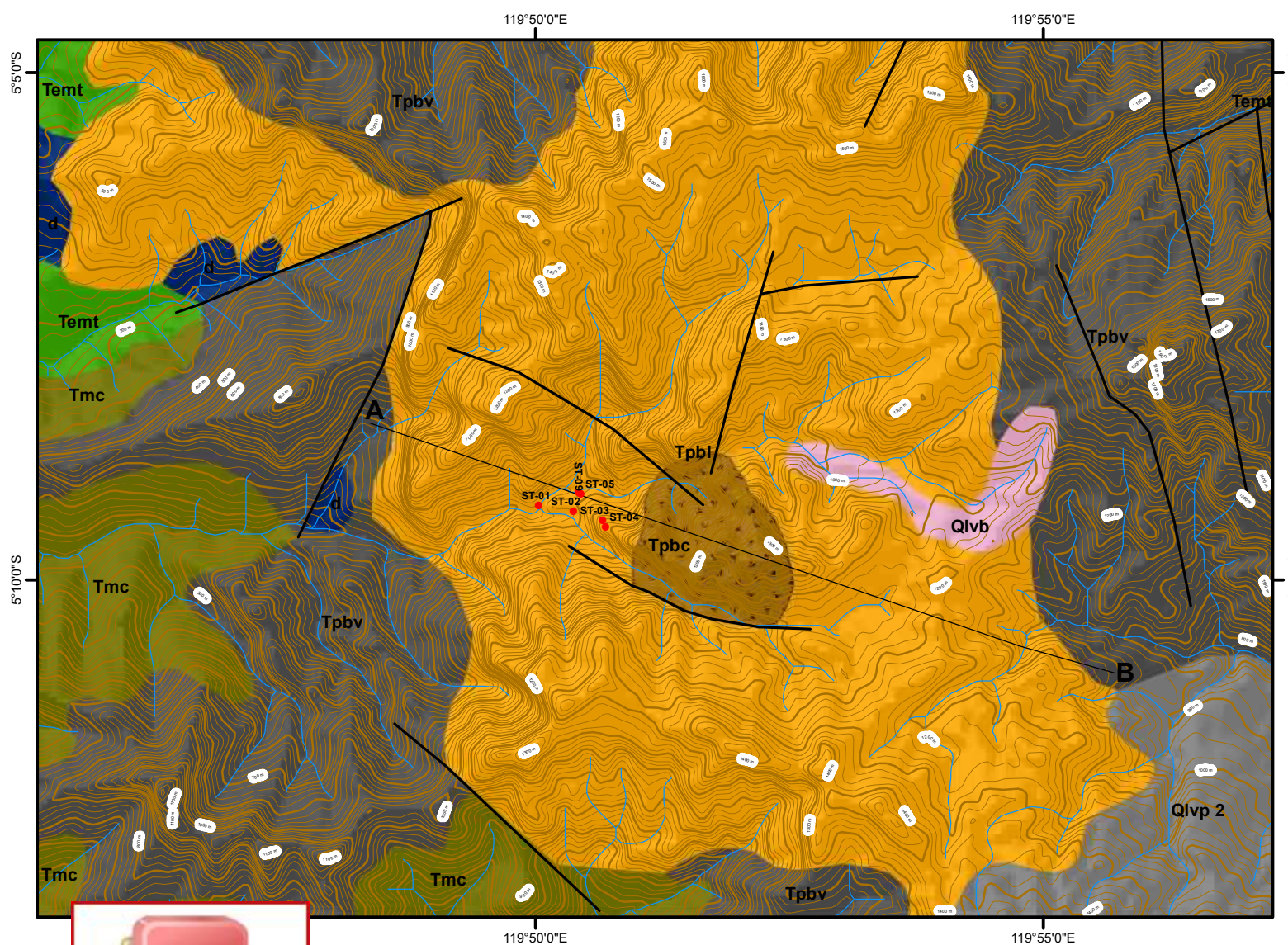
STUDI ALTERASI DAN MINERALISASI ENDAPAN
TIPE URAT: IMPLIKASI TERHADAP GENETIK
DAN EKSPLORASI DAERAH CINDAKKO
KABUPATEN MAROS

Digambar: Arif
NIM D062 18 2001

Pembimbing:
Dr. Ir. Musri Ma'waleda, M.T
NIP : 19611231 198903 1 019
Dr. Ir. Izral Nur, M.T.
NIP : 19660409 199703 1 002

Lampiran
Halaman
F
159

Sumber Data :
1. Peta Dasar Rupa Bumi Indonesia (RBI) Skala 1 : 50.000,
Badan Informasi Geografis (2014)
2. DEMNAS, Badan Informasi Geografis (2013)
3. Citra Sas Planet, (2014)



PETA GEOLOGI REGIONAL DAERAH CINDAKKO DESA BONTOSOMBA KECAMATAN TOMPOBULU KABUPATEN MAROS



Skala 1 : 114.000
Interval kontur 25 m

Datum.....WGS 84
Zona UTM.....50S
Sistem Koordinat.....Geografis

Keterangan :

- Lokasi sampling
- Sayatan A-B
- Sungai
- Kontur

PROGRAM MAGISTER TEKNIK GEOLOGI
FAKULTAS TEKNIK
UNIVERSITAS HASANUDDIN
MAKASSAR
2019

TESIS

STUDI ALTERASI DAN MINERALISASI ENDAPAN
TIPE URAT: IMPLIKASI TERHADAP GENETIK
DAN EKSPLORASI DAERAH CINDAKKO
KABUPATEN MAROS

Digambar: Arif
NIM D062 18 2001

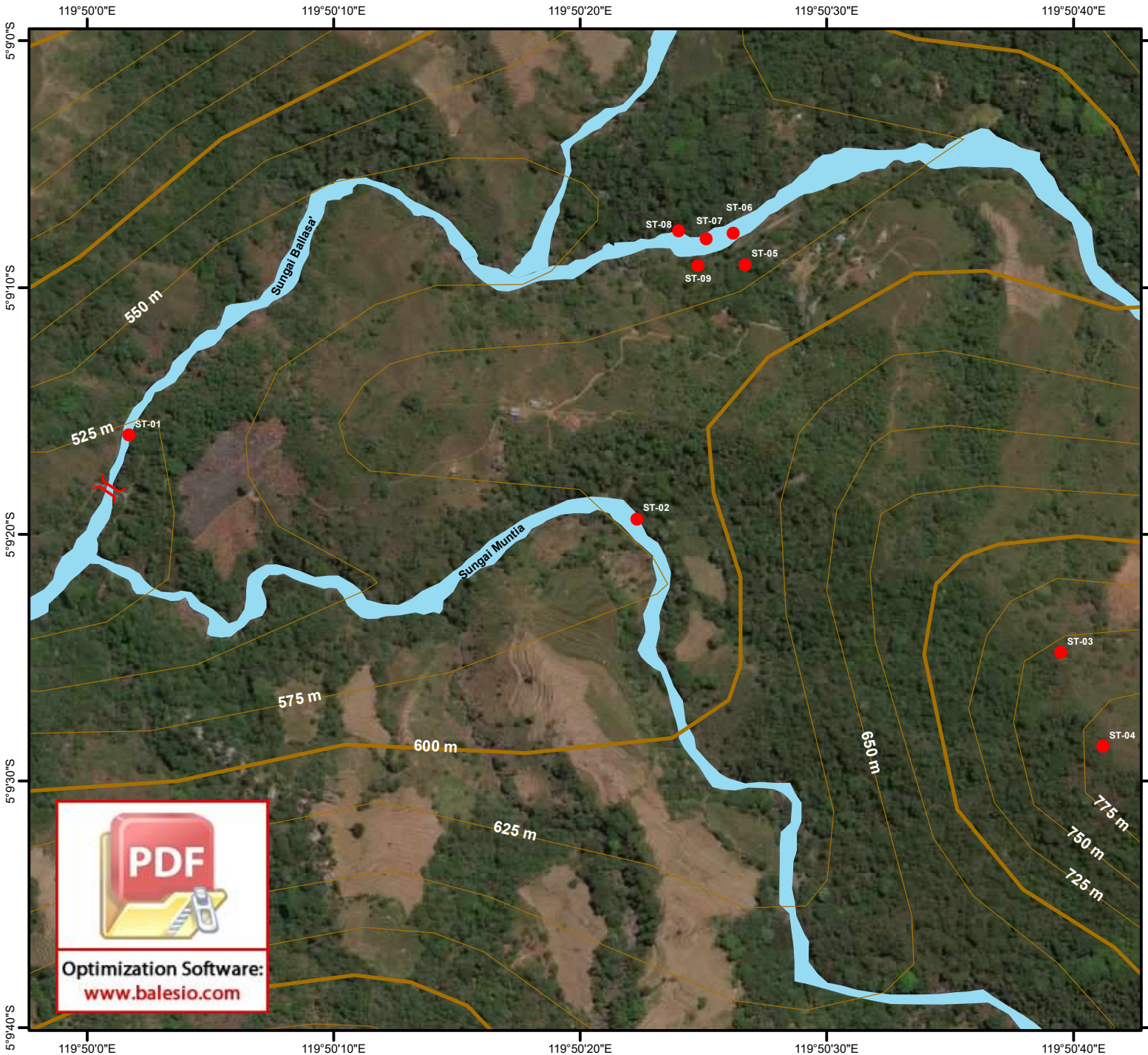
| | |
|-------------|---|
| Pembimbing: | Dr. Ir. Musri Ma'waleda, M.T NIP : 19611231 198903 1 019 |
| | Dr. Ir. Iralz Nur, M.T. NIP : 19660409 199703 1 002 |

Lampiran G Halaman 160

Sumber Data :
 1. Peta Dasar Rupa Bumi Indonesia (RBI) Skala 1 : 50.000, Bakosurtanal (2000)
 2. Peta Geologi Lembar Ujung Pandang, Benteng dan Sinjai, Sulawesi (Sukanto dan Supriatna, 1982)
 3. DEMNAS Resolusi 8 meter, Badan Informasi Geografi (2018)



Optimization Software:
www.balesio.com



Optimization Software:
www.balesio.com

